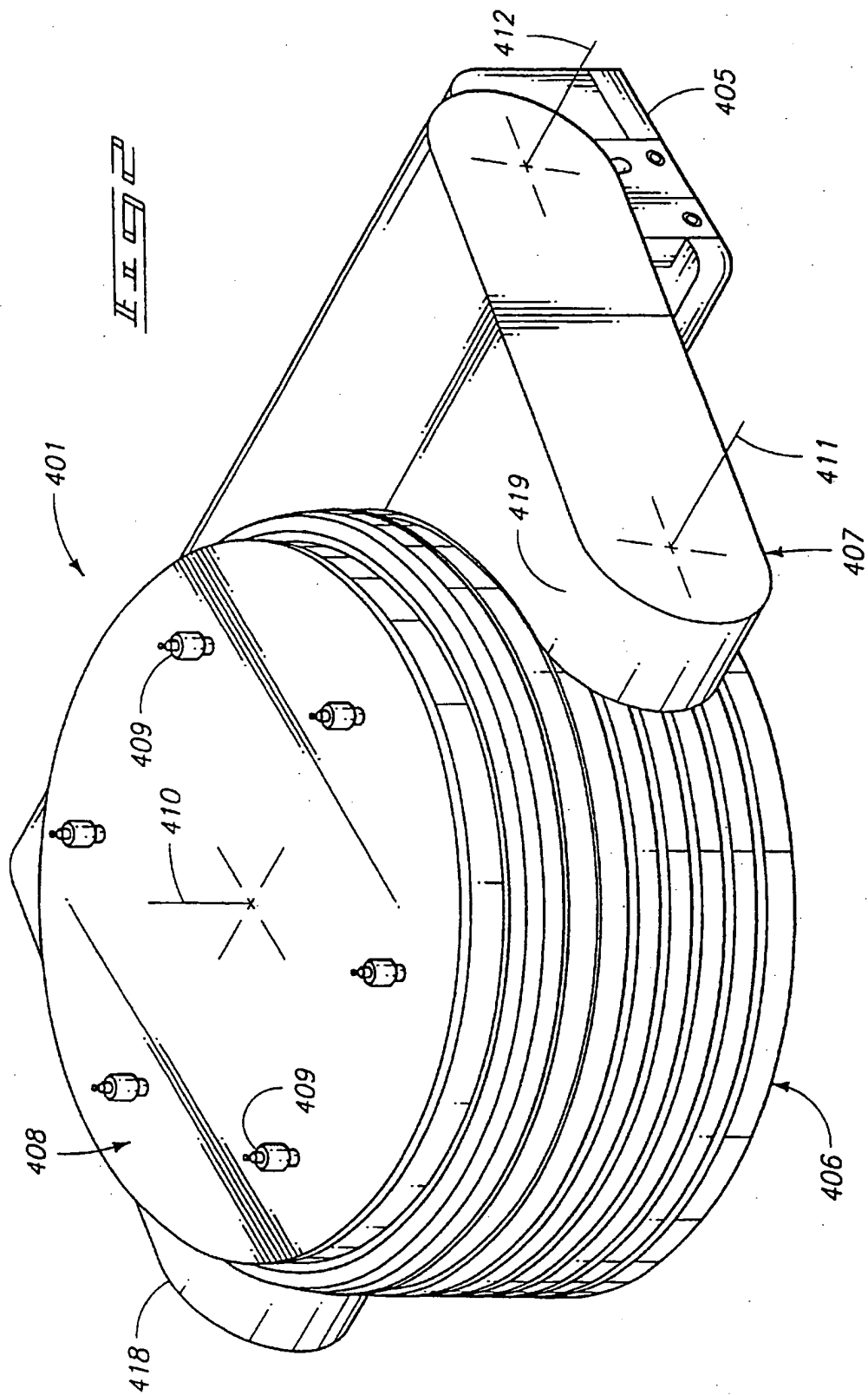
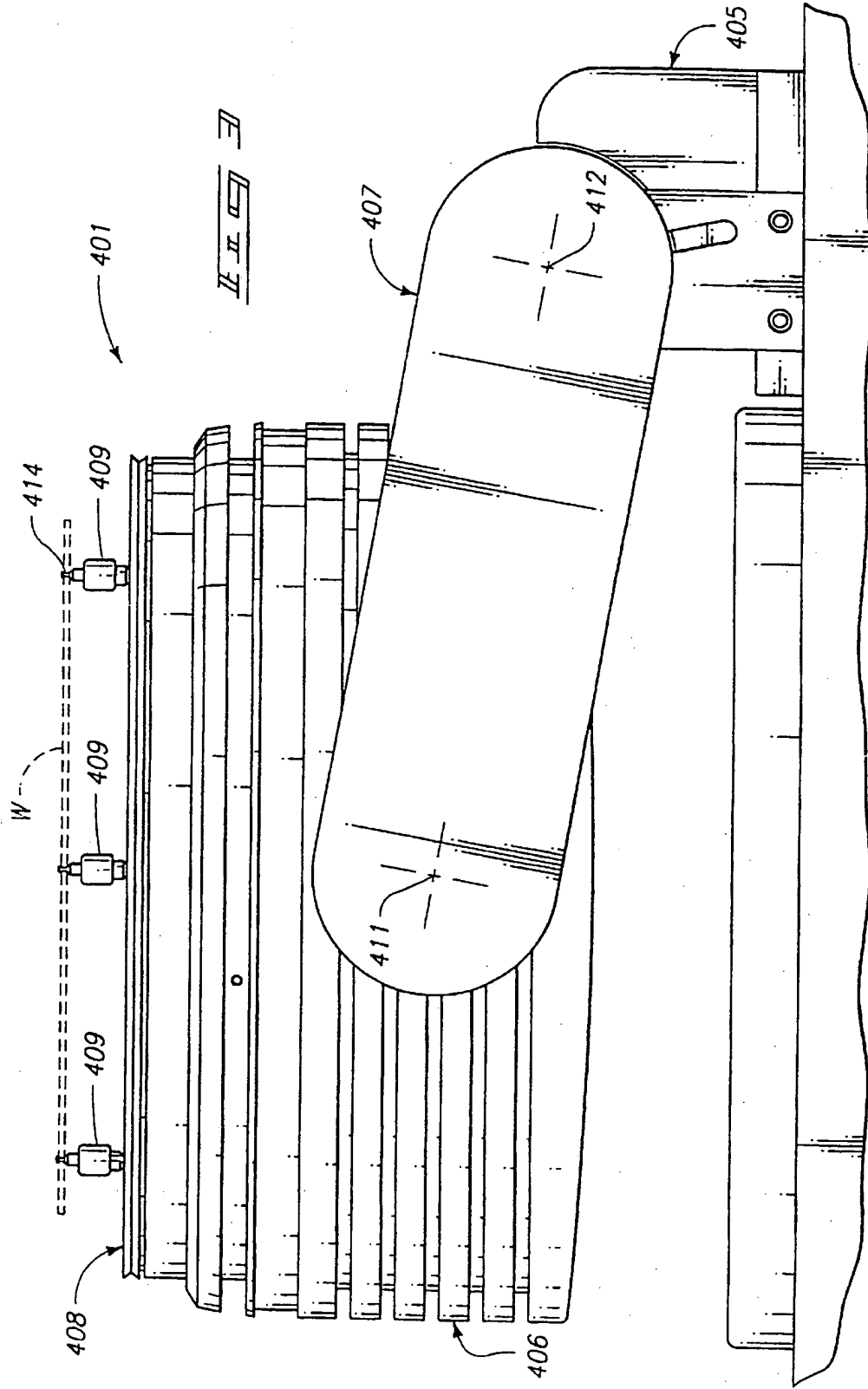
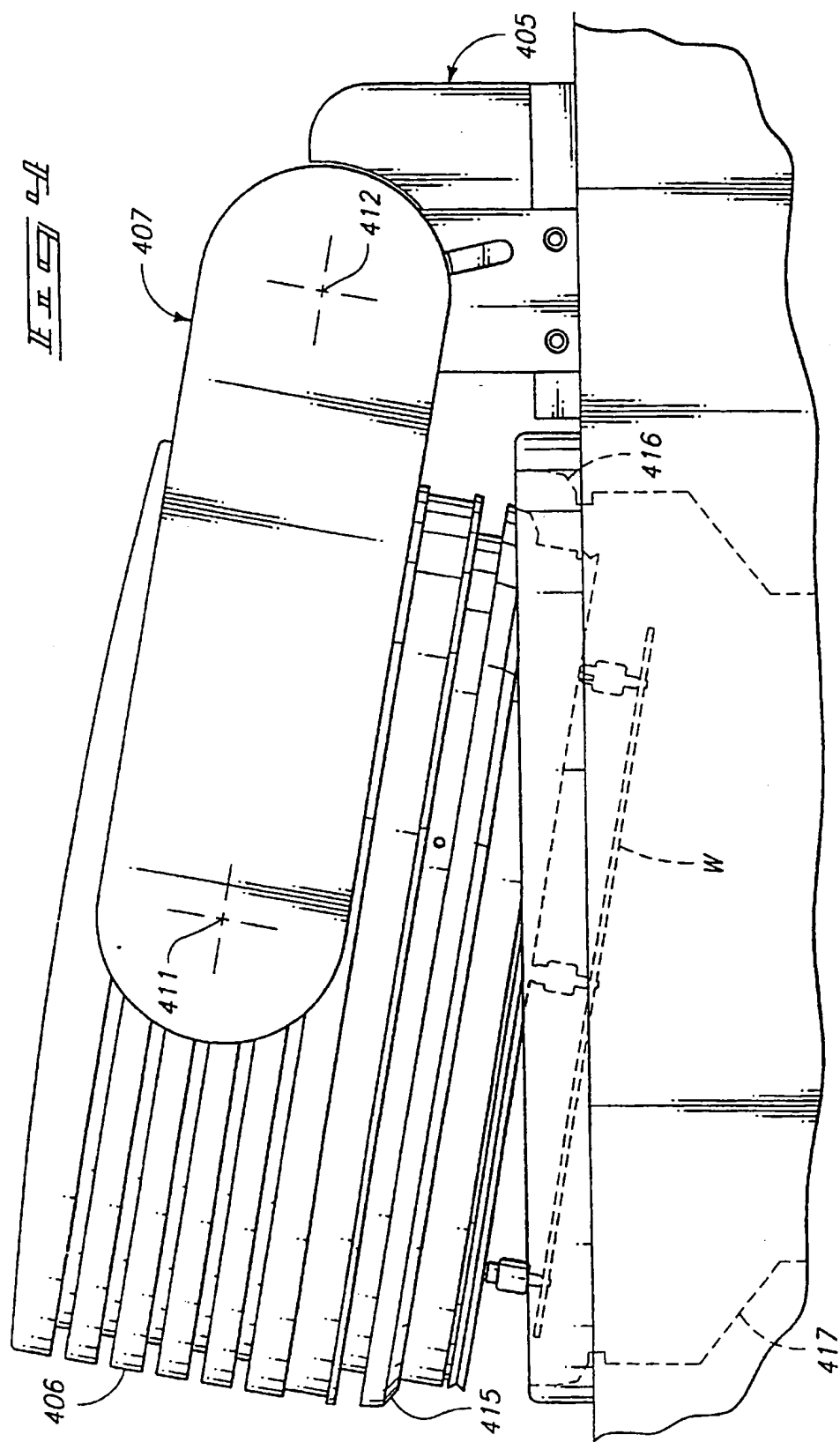


FIG. 1







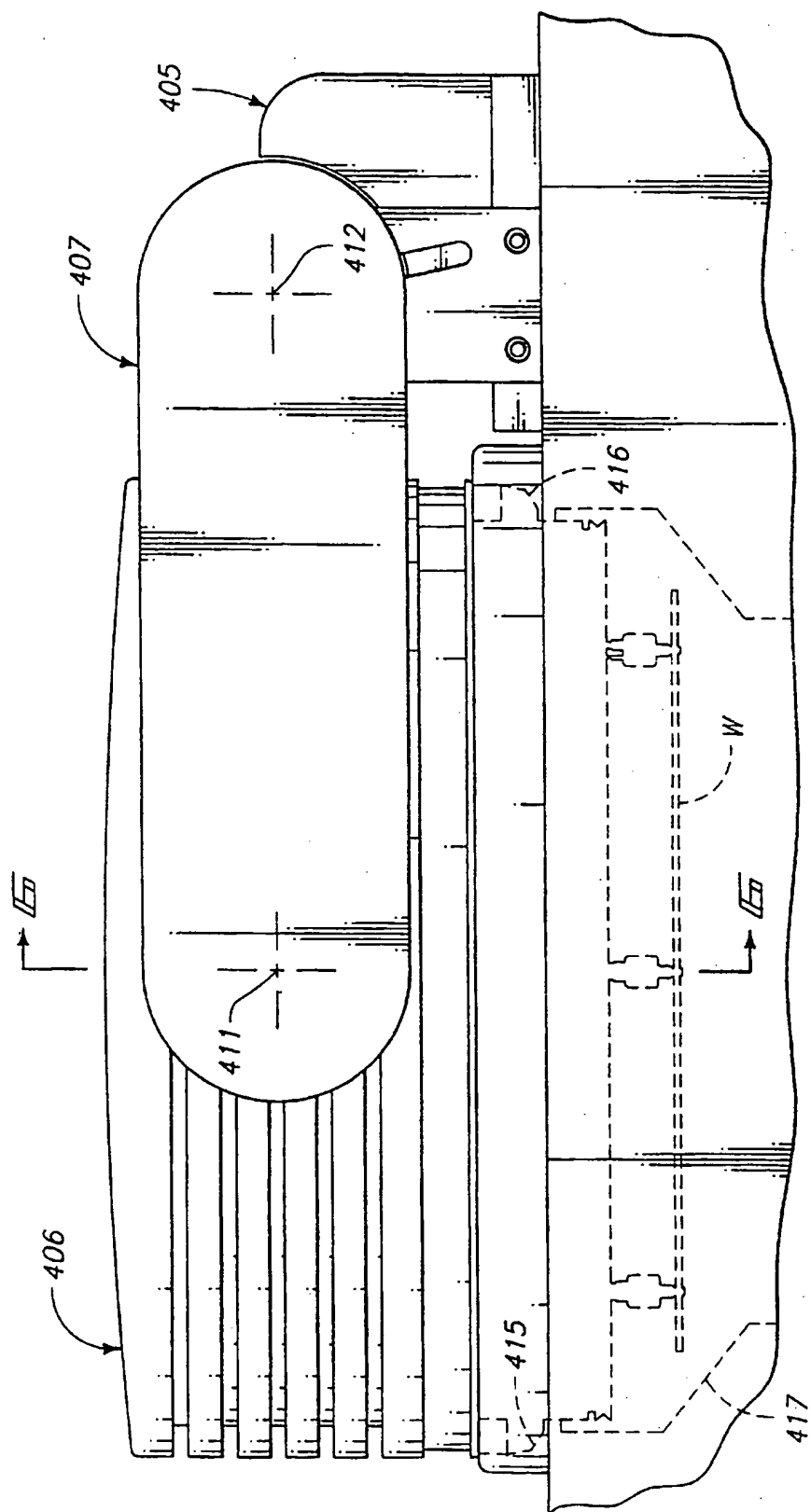
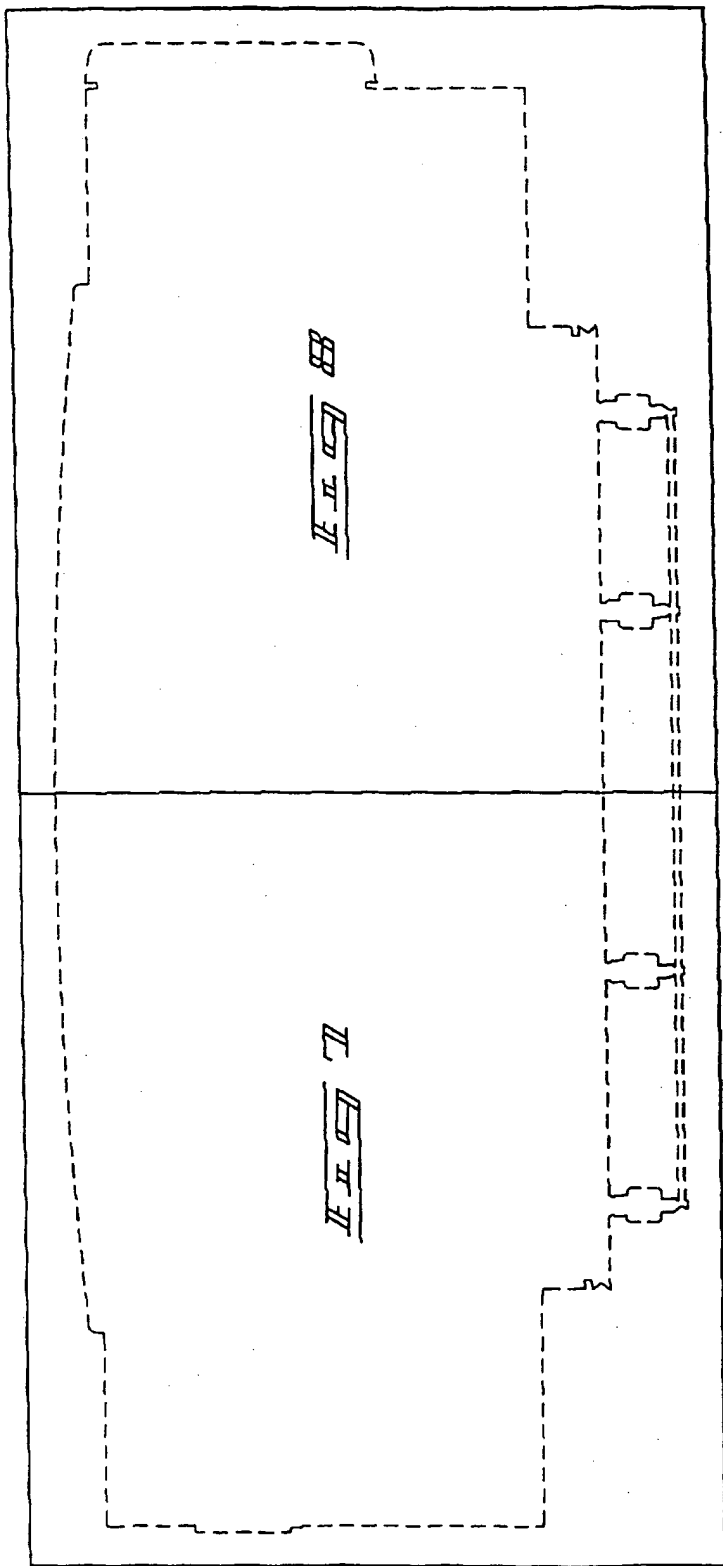
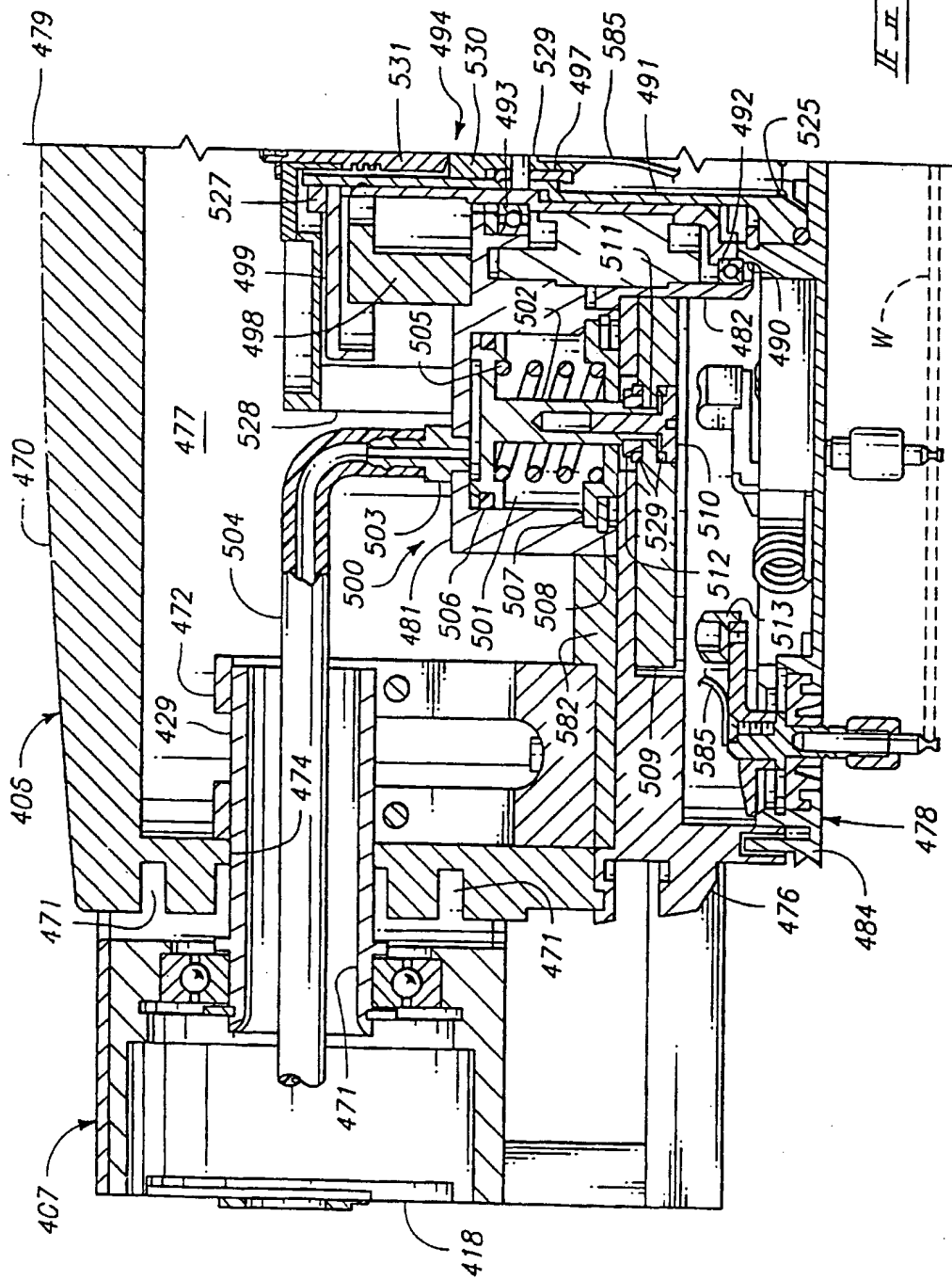


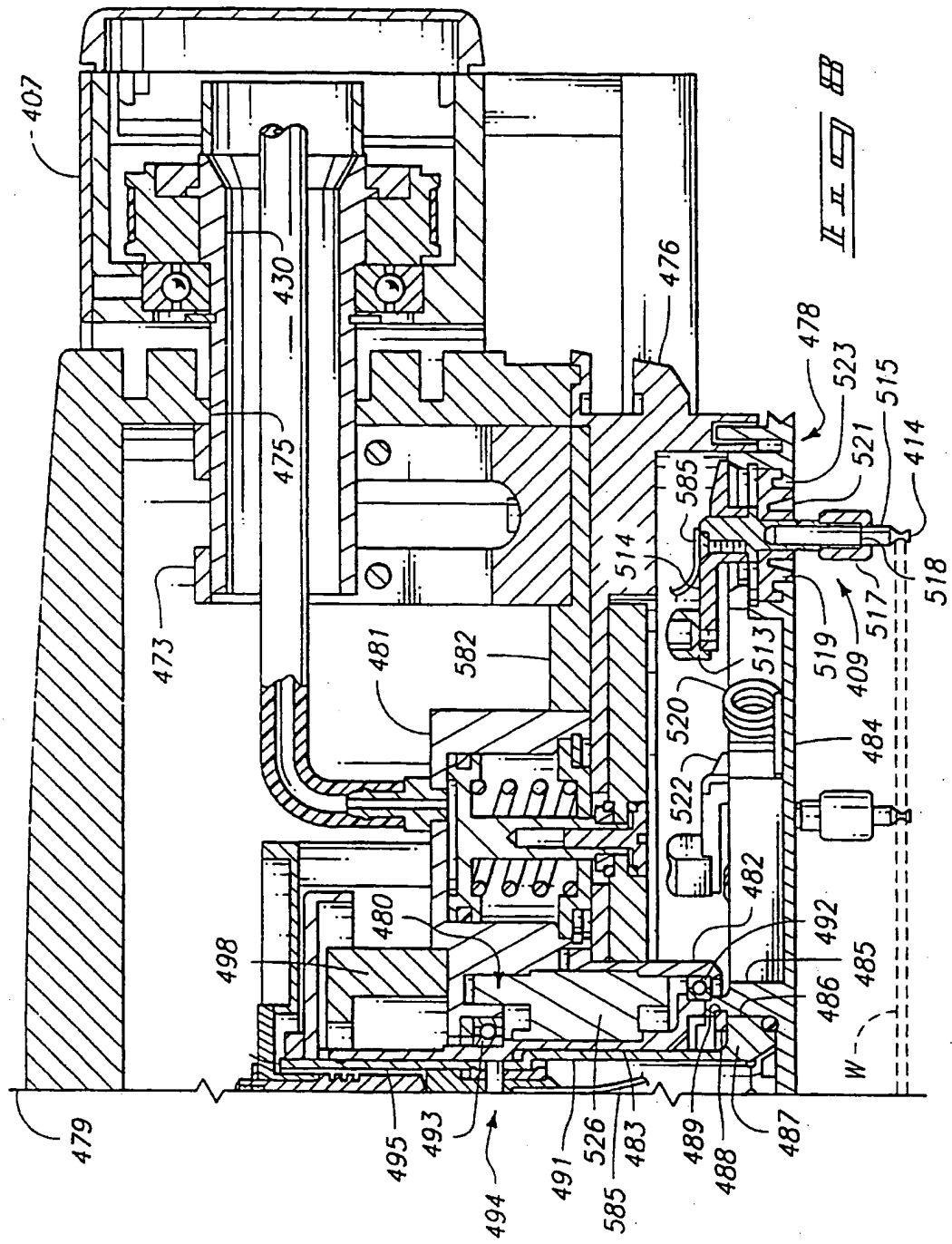
FIG. 4



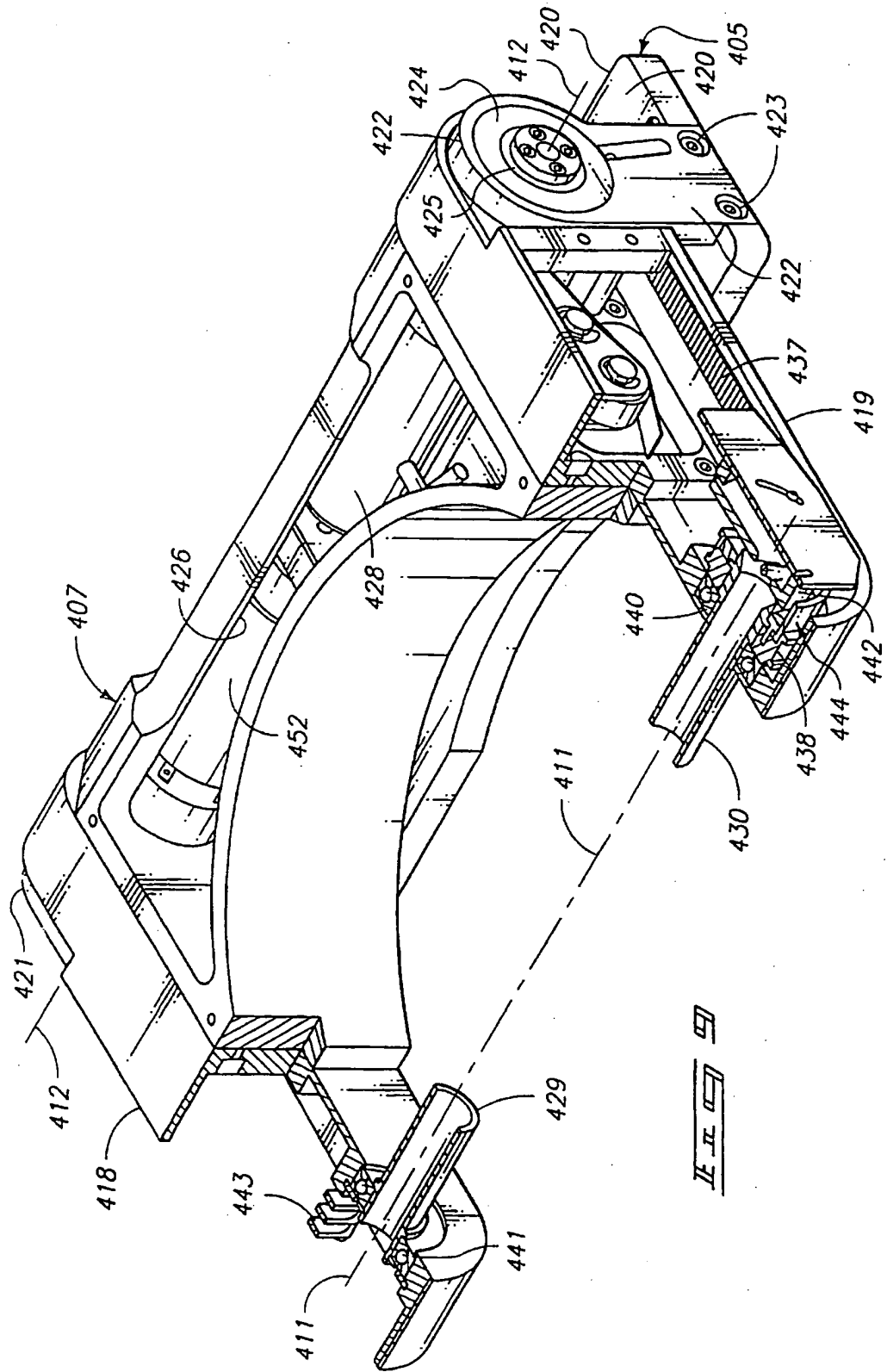
L  
H



II II







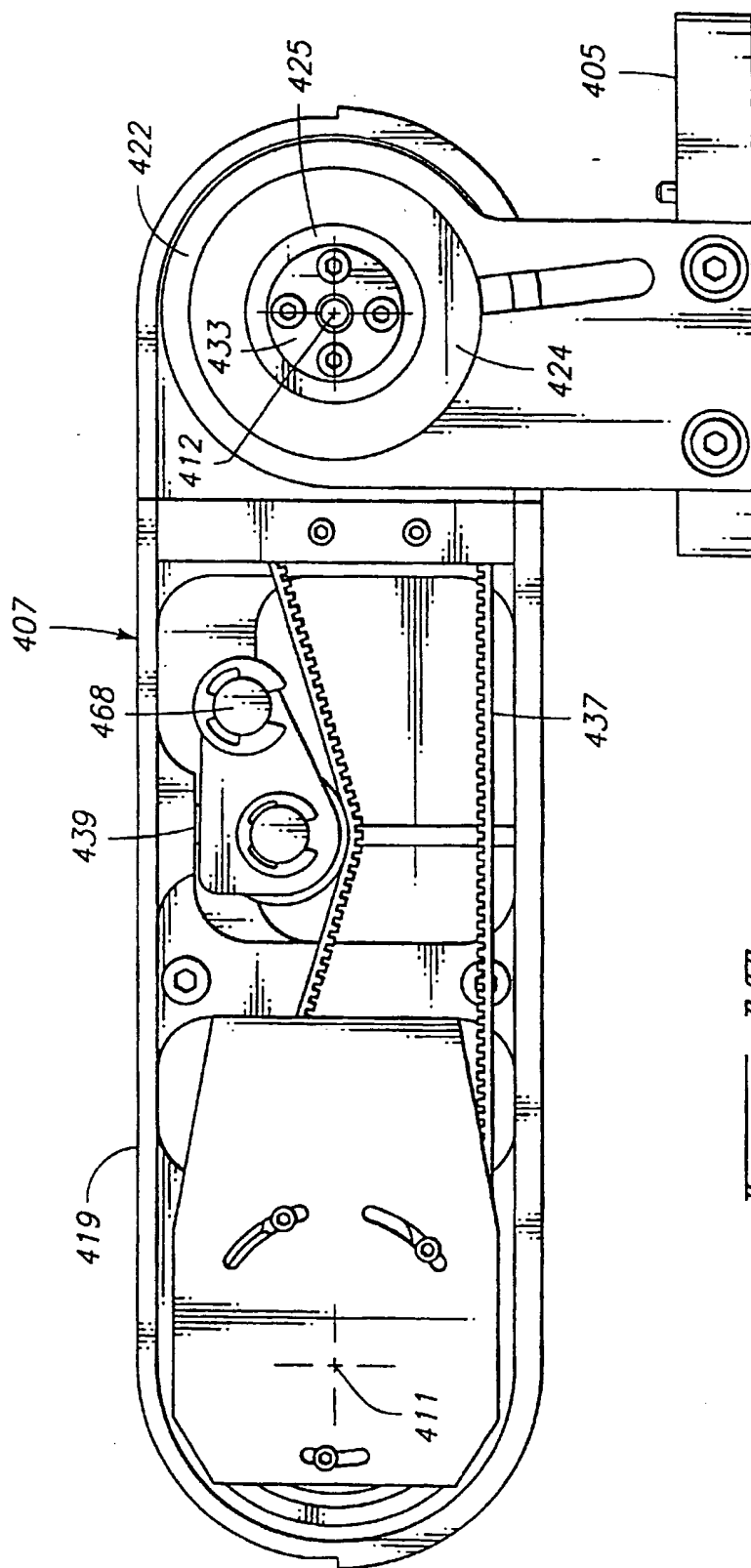
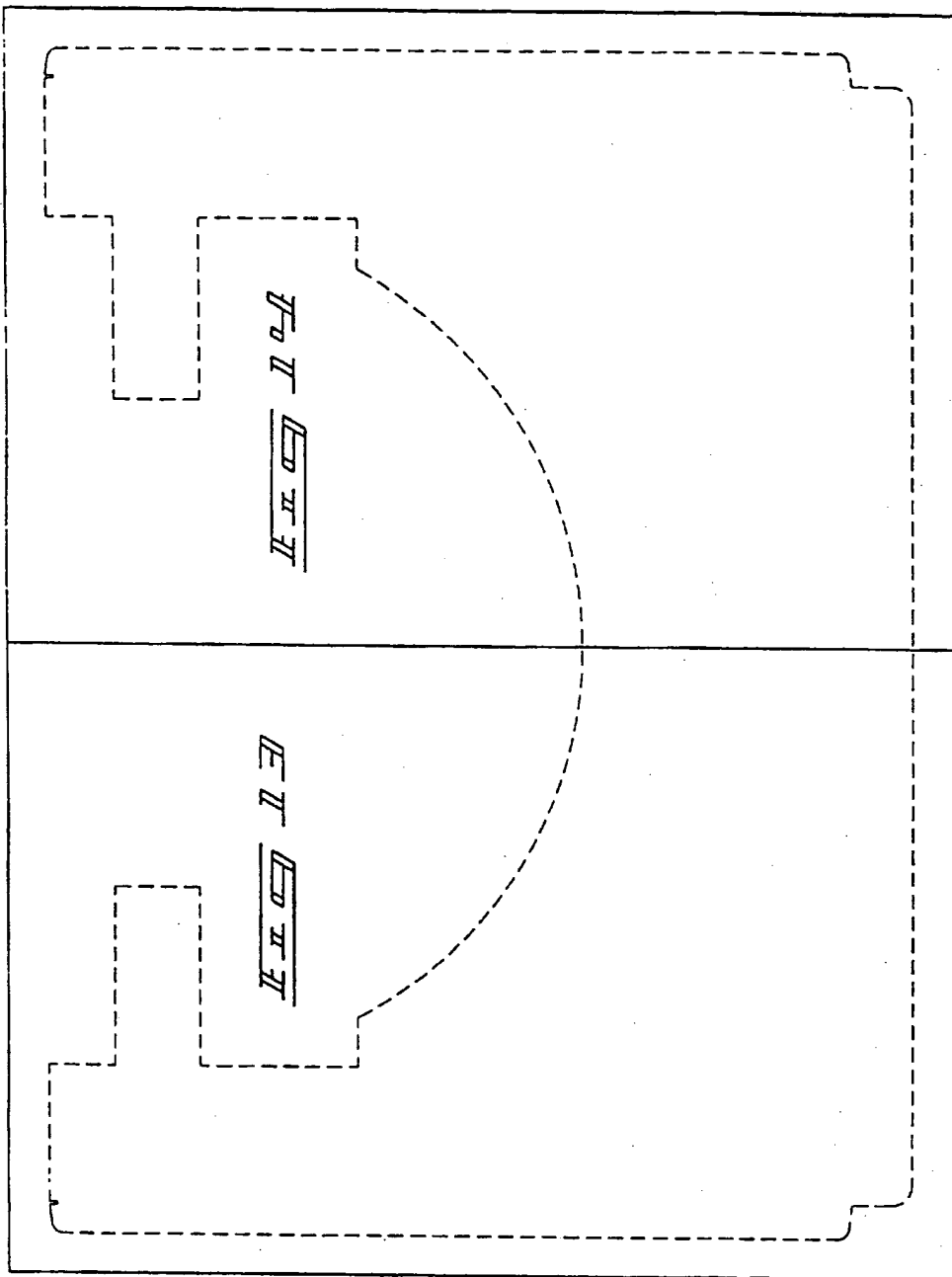
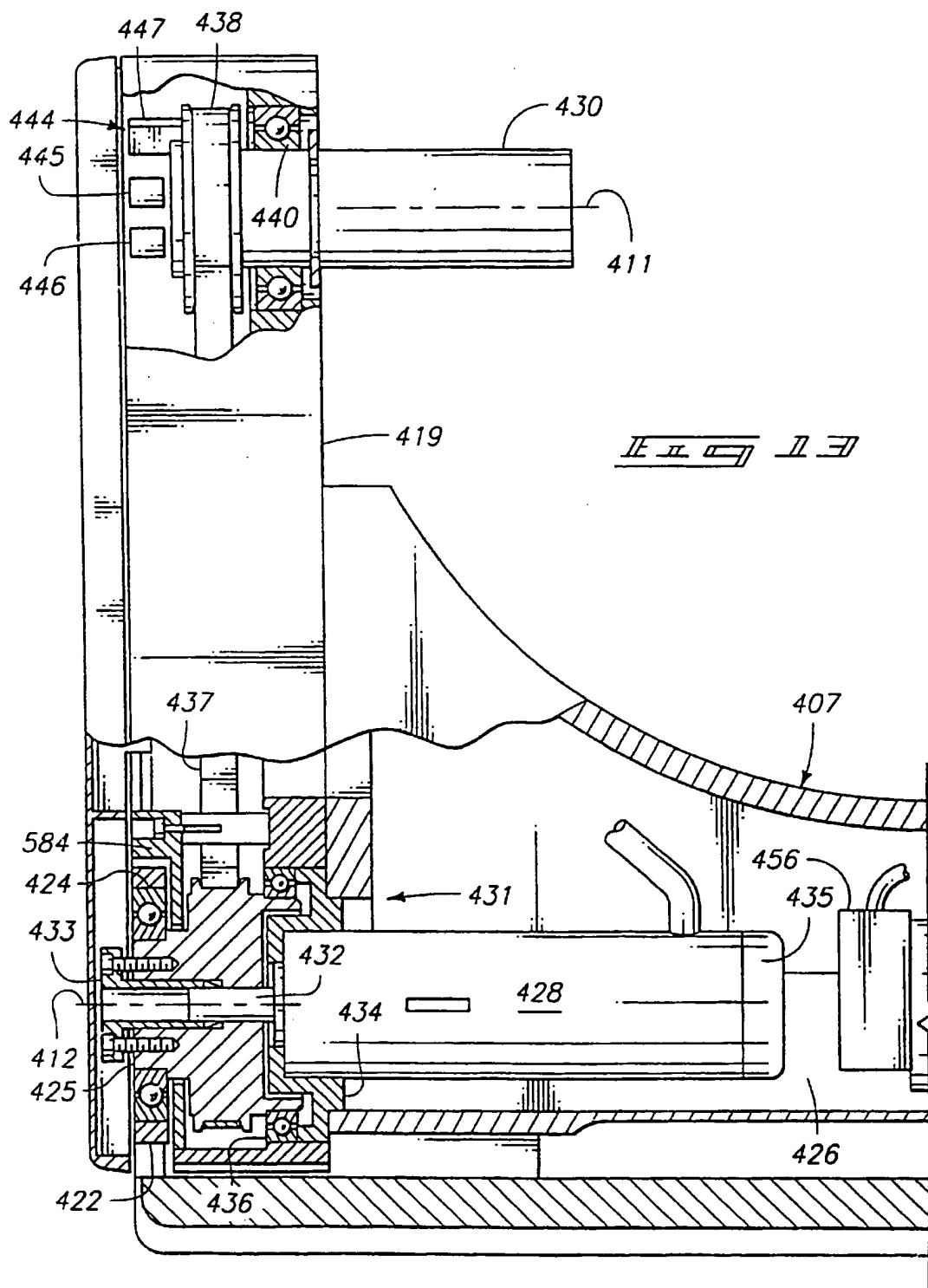


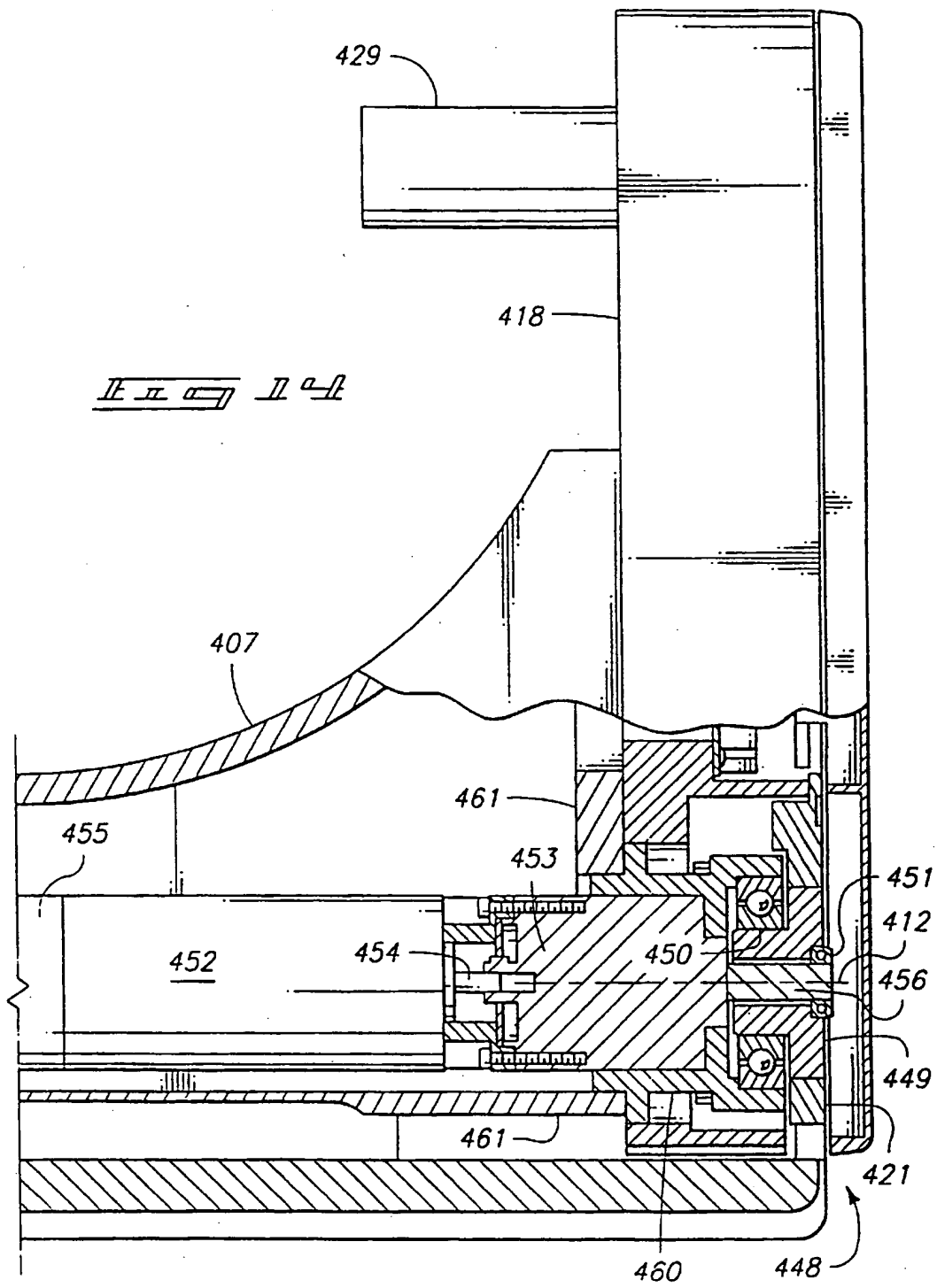
Fig. 11

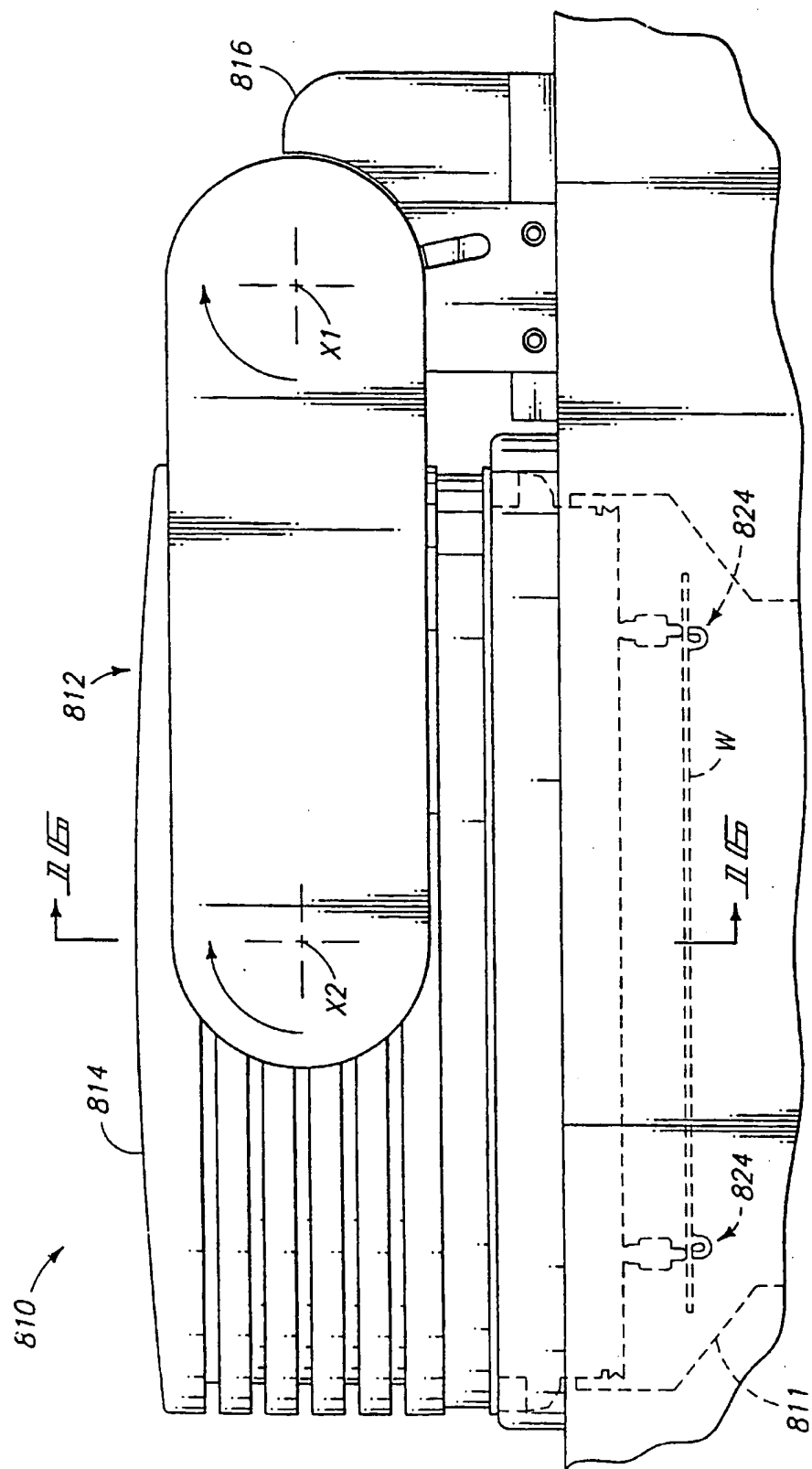


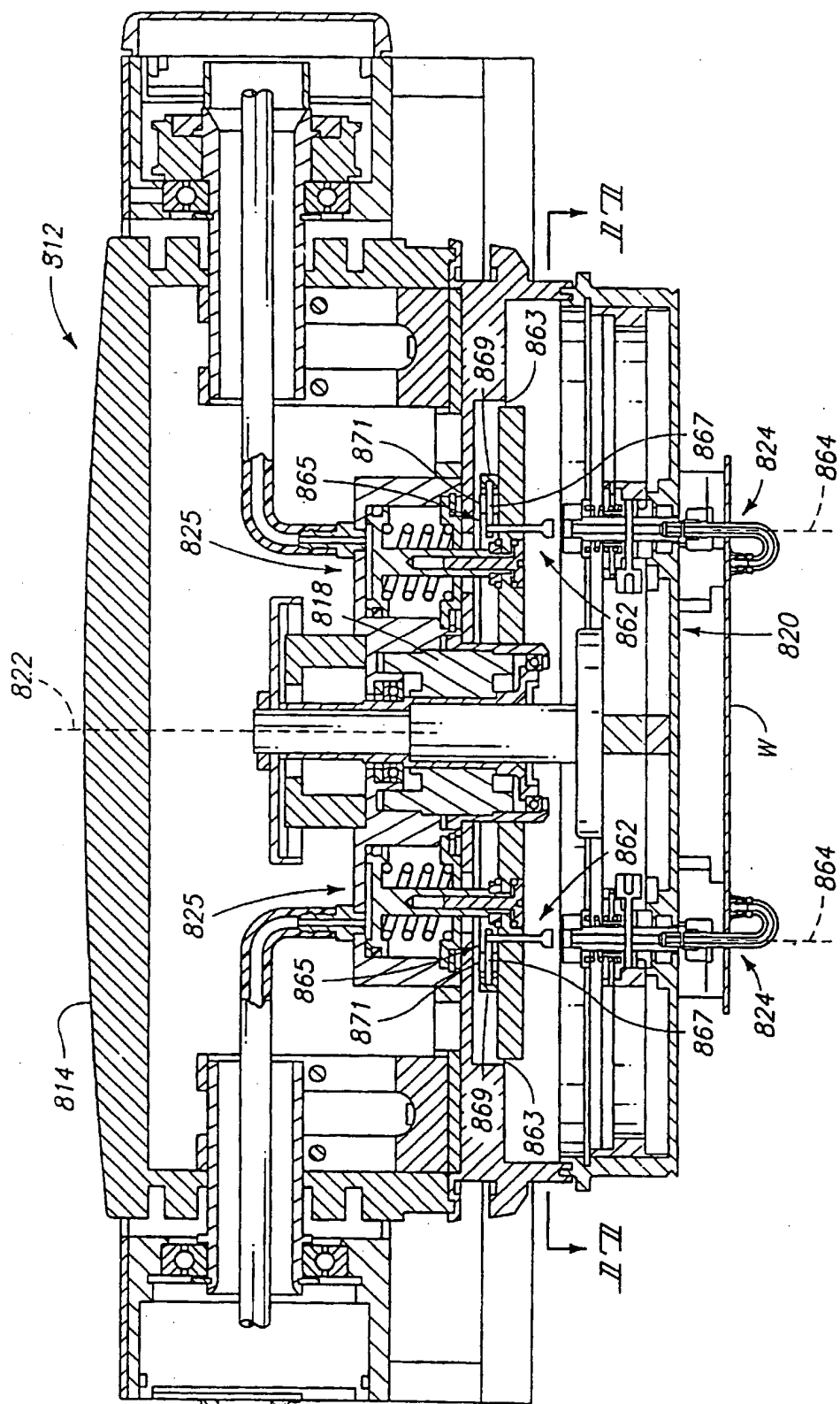
2000











II-II



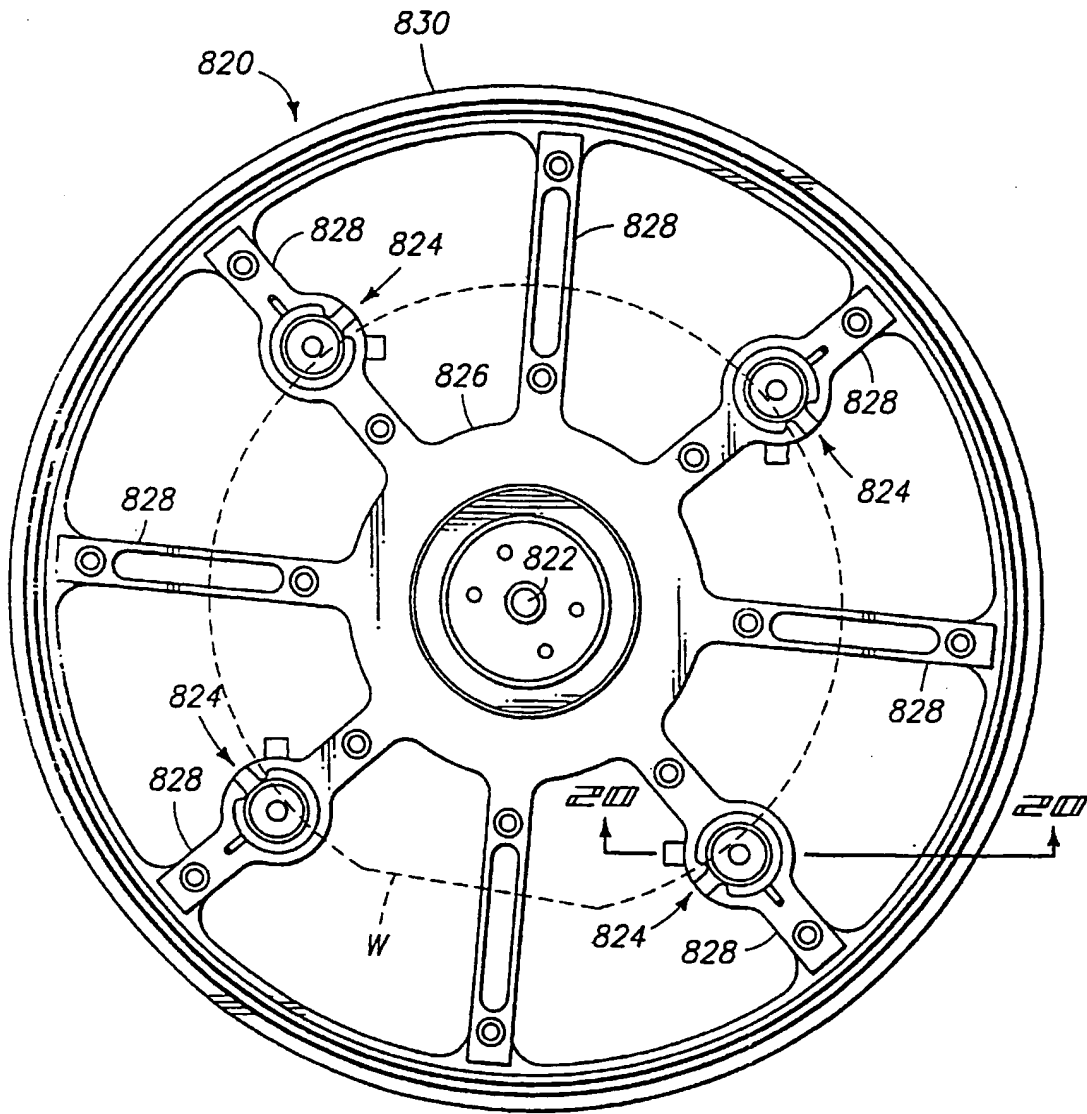
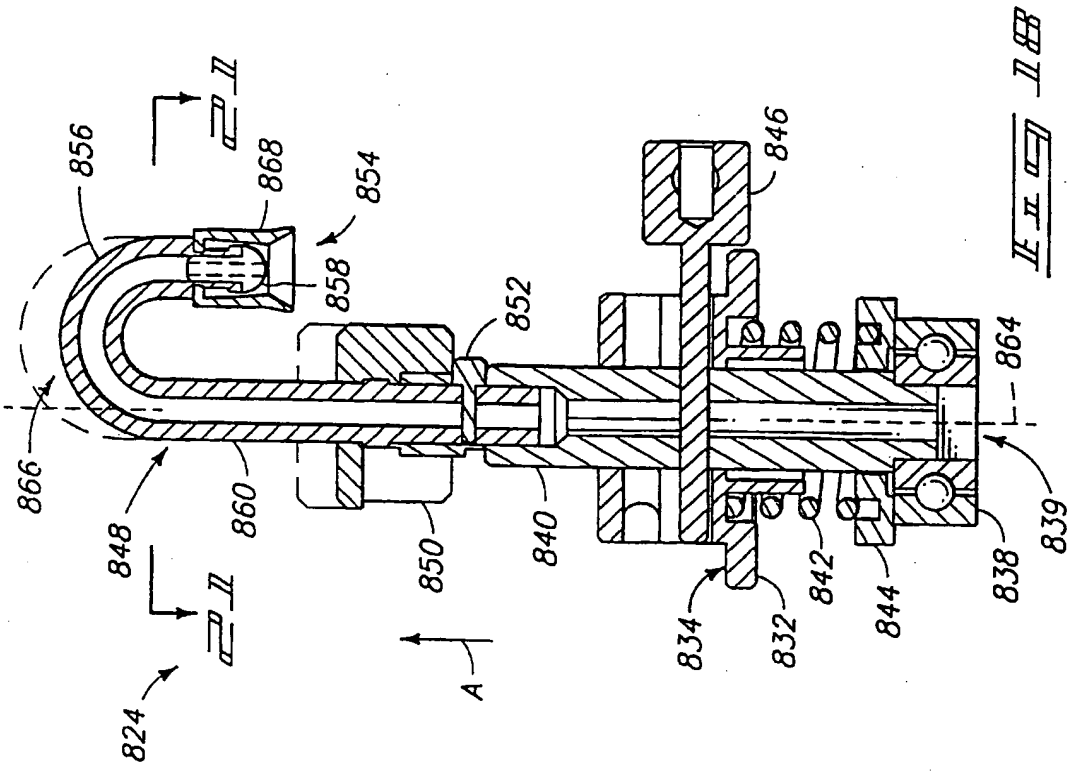
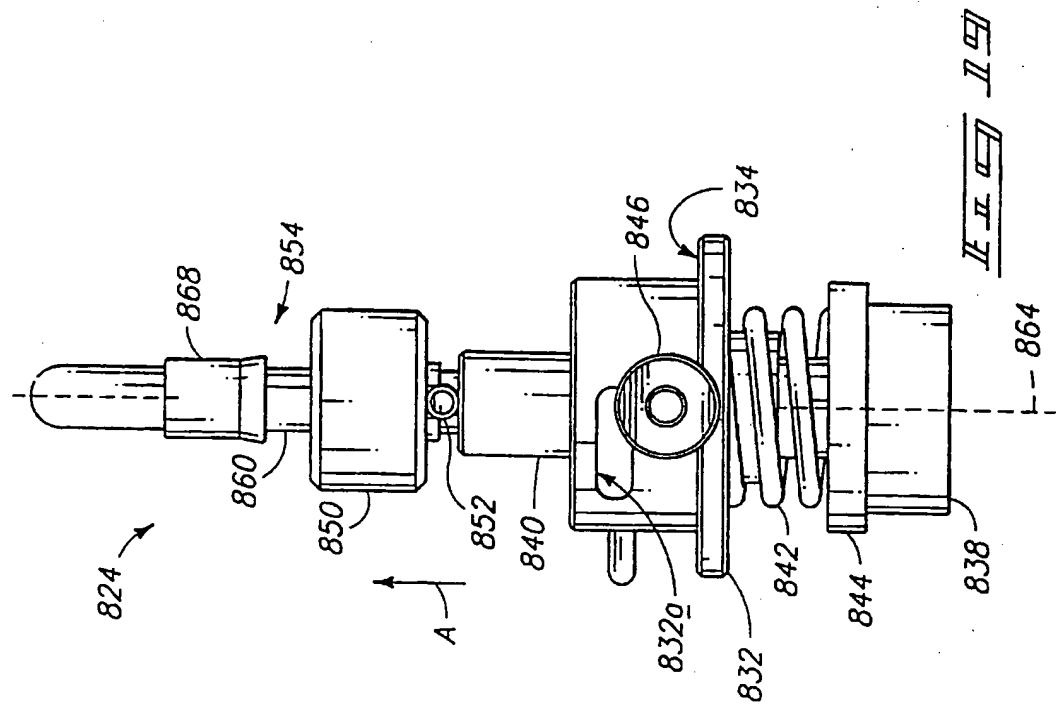
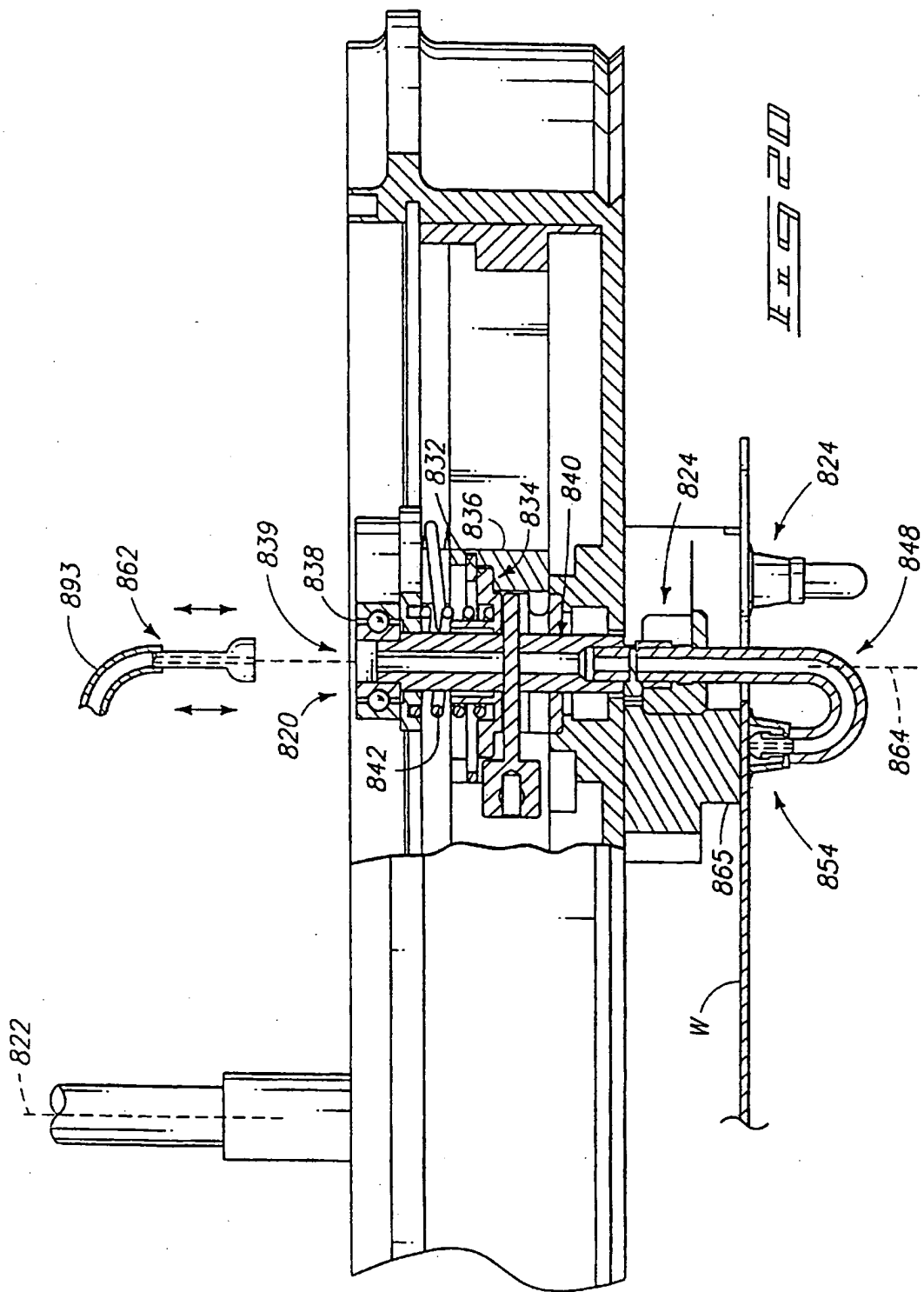


FIG 17





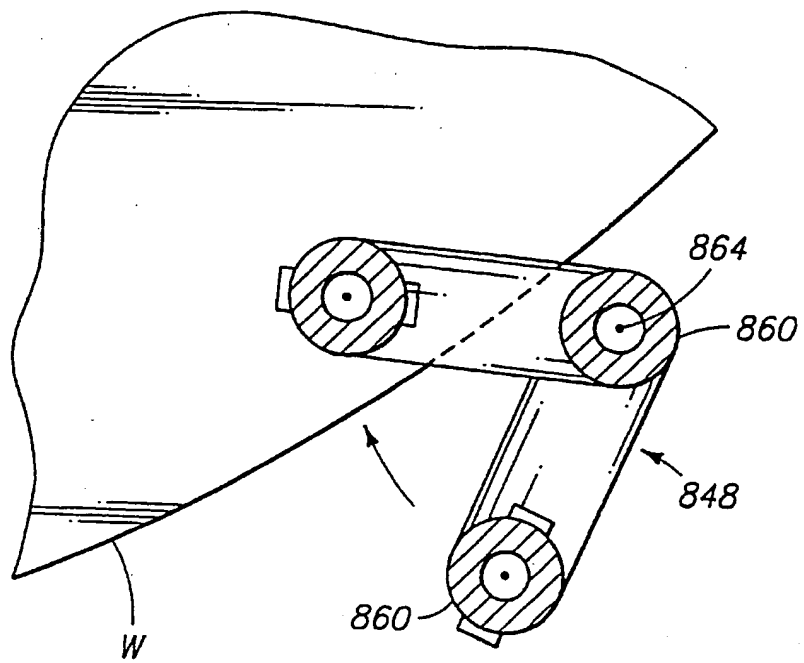


Fig 21

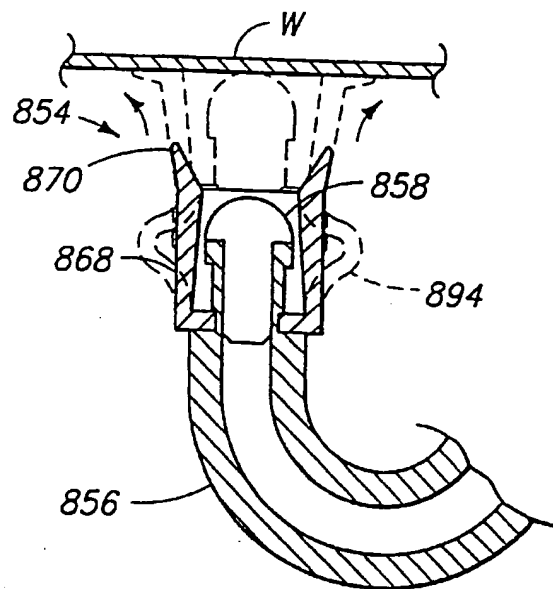
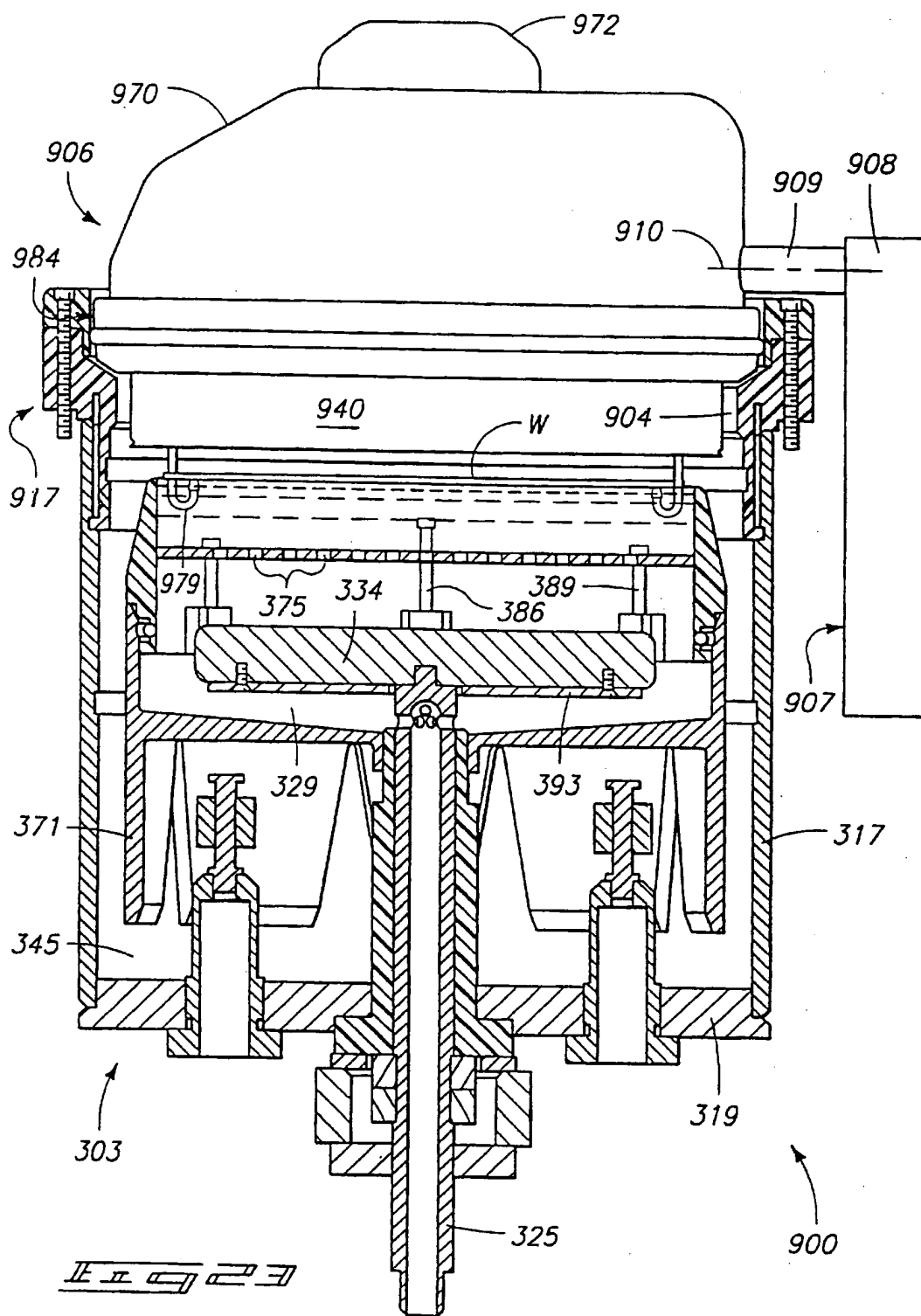


Fig 22



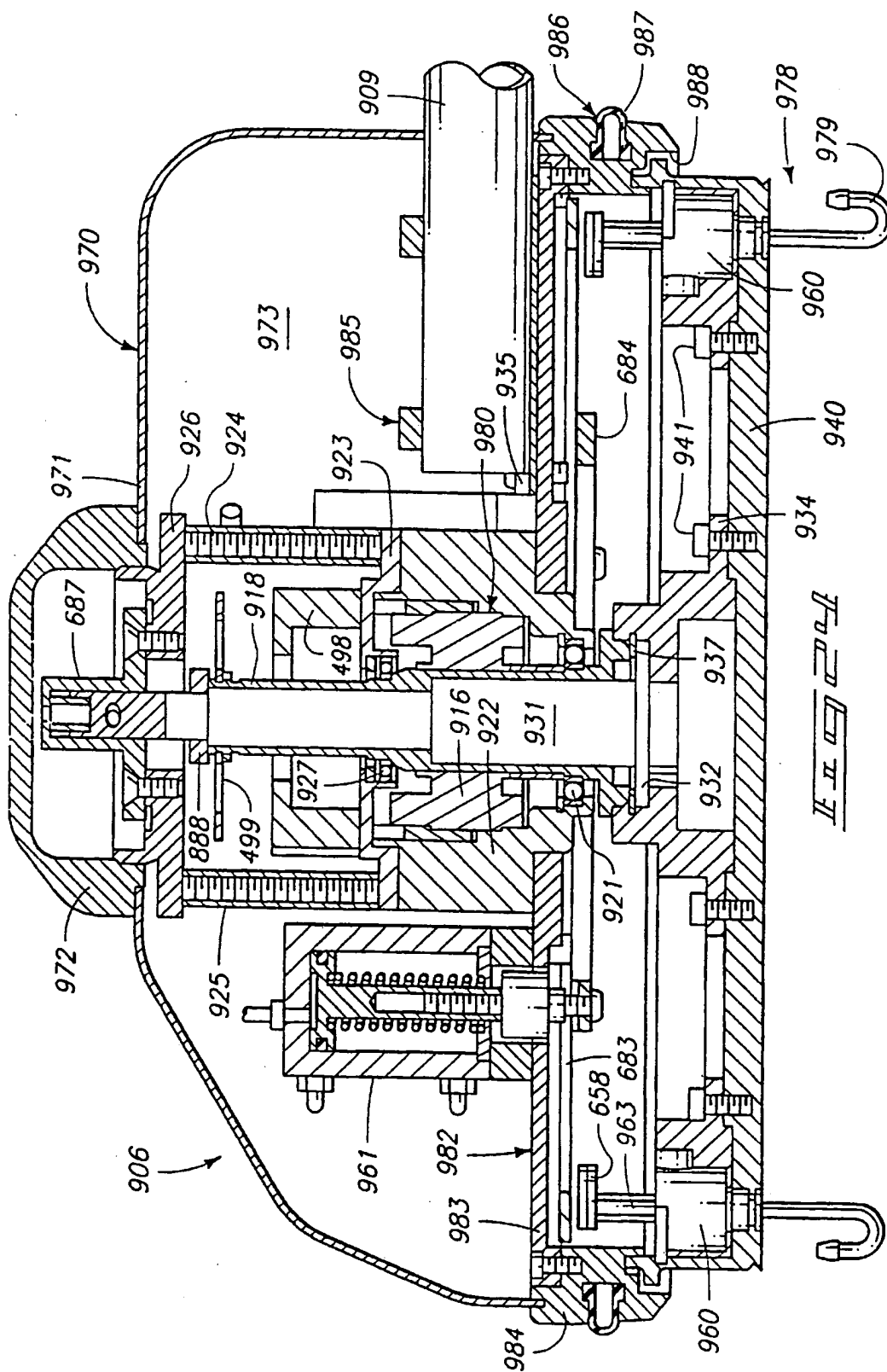
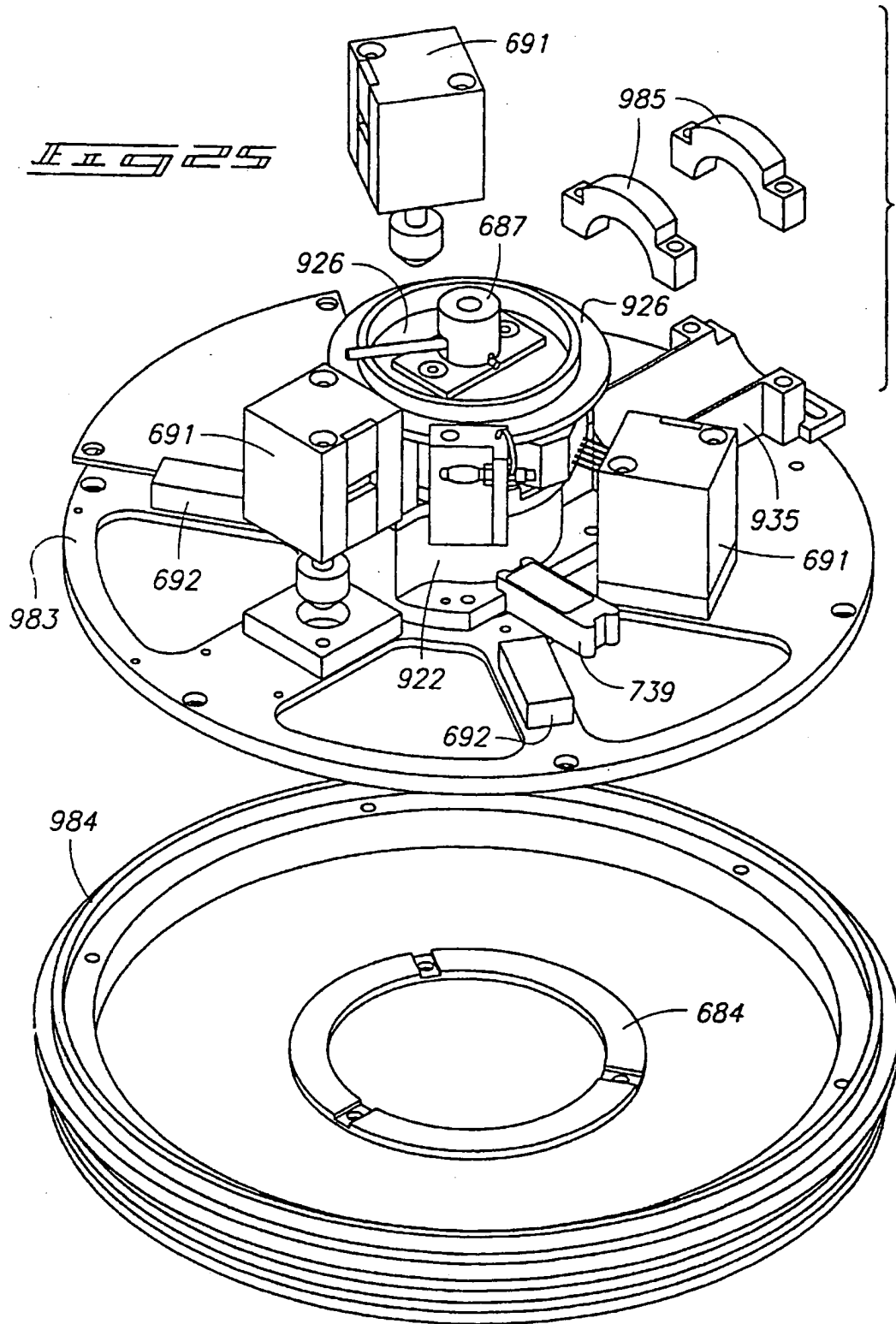
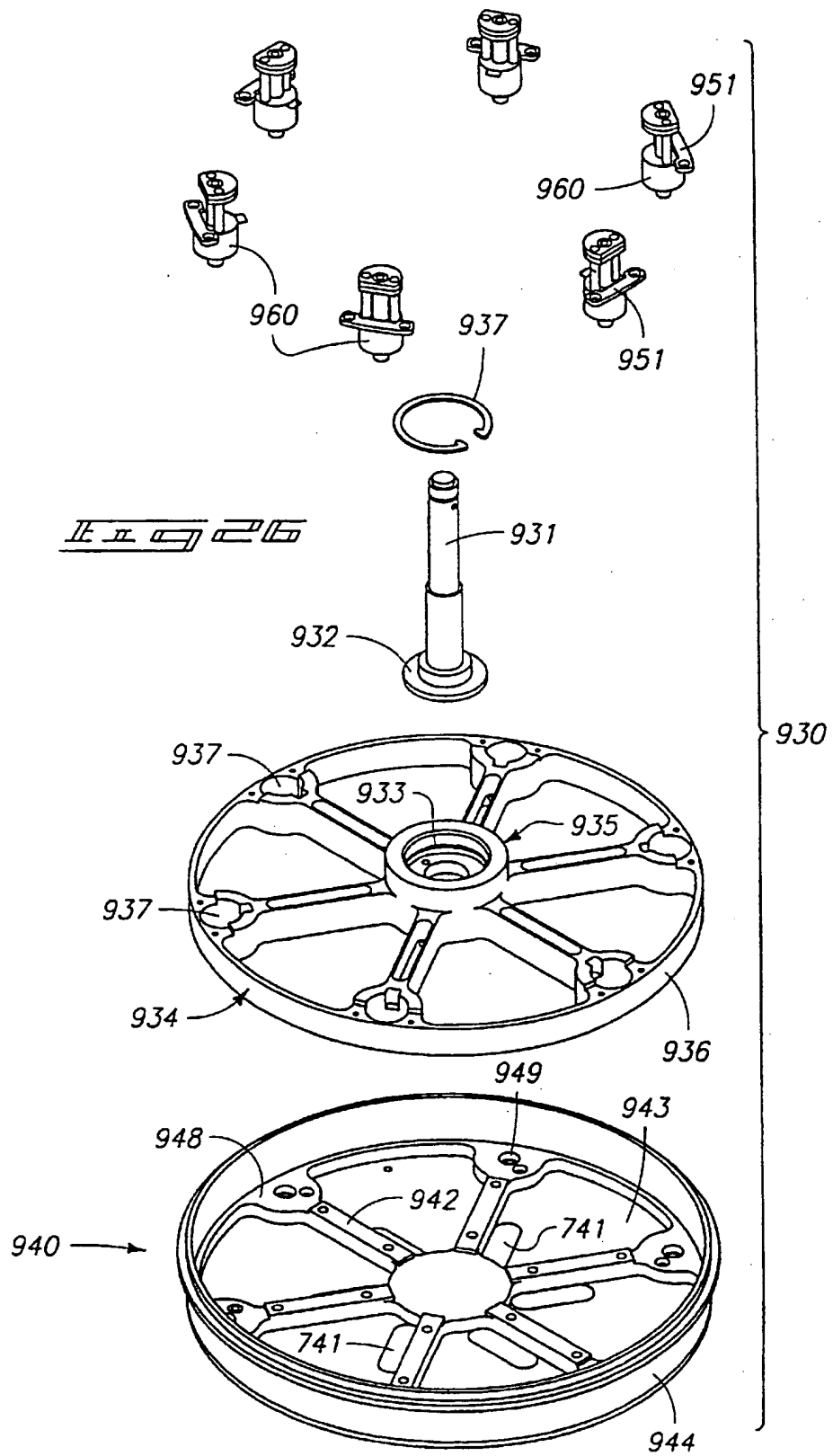


FIG 25







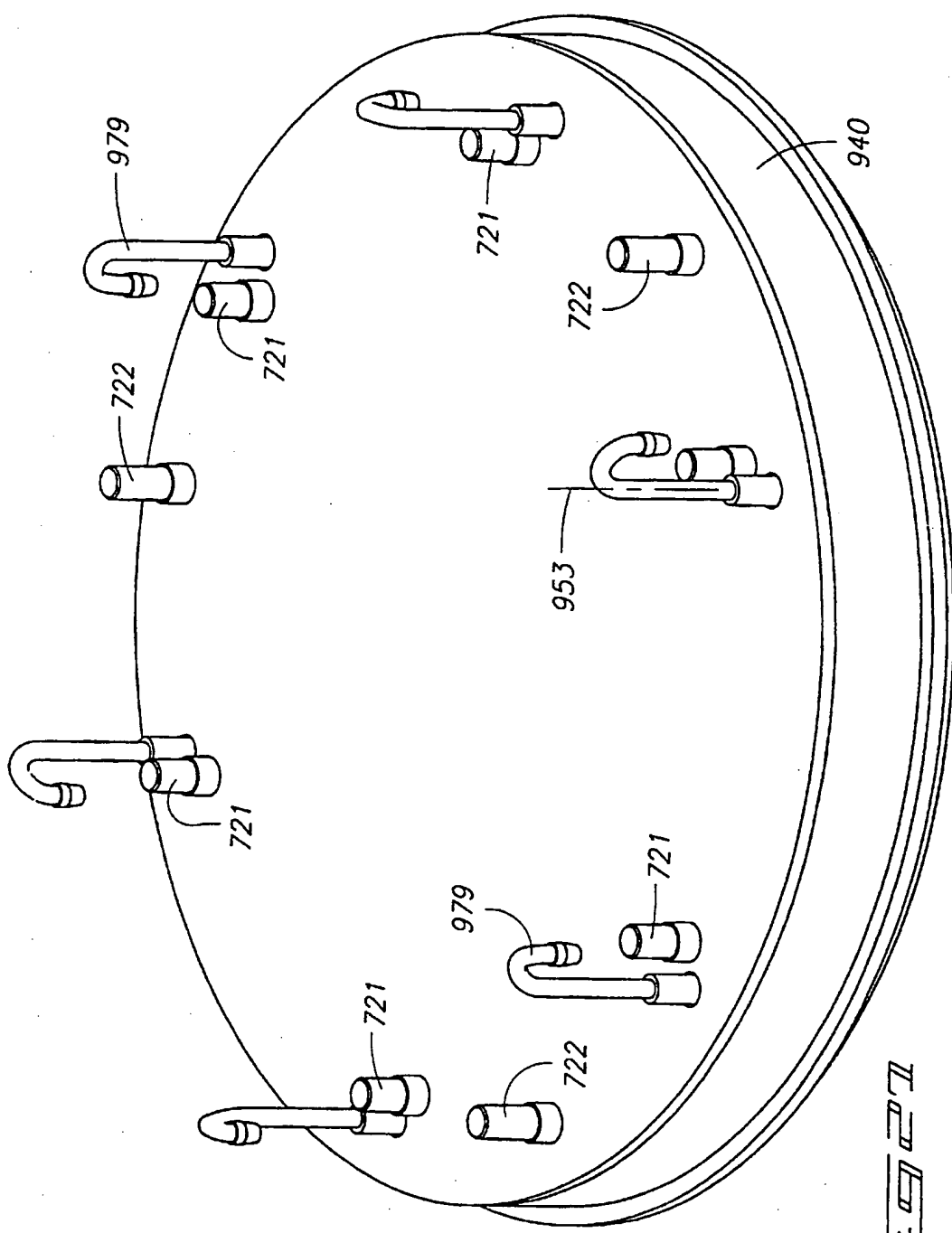


FIG. 27

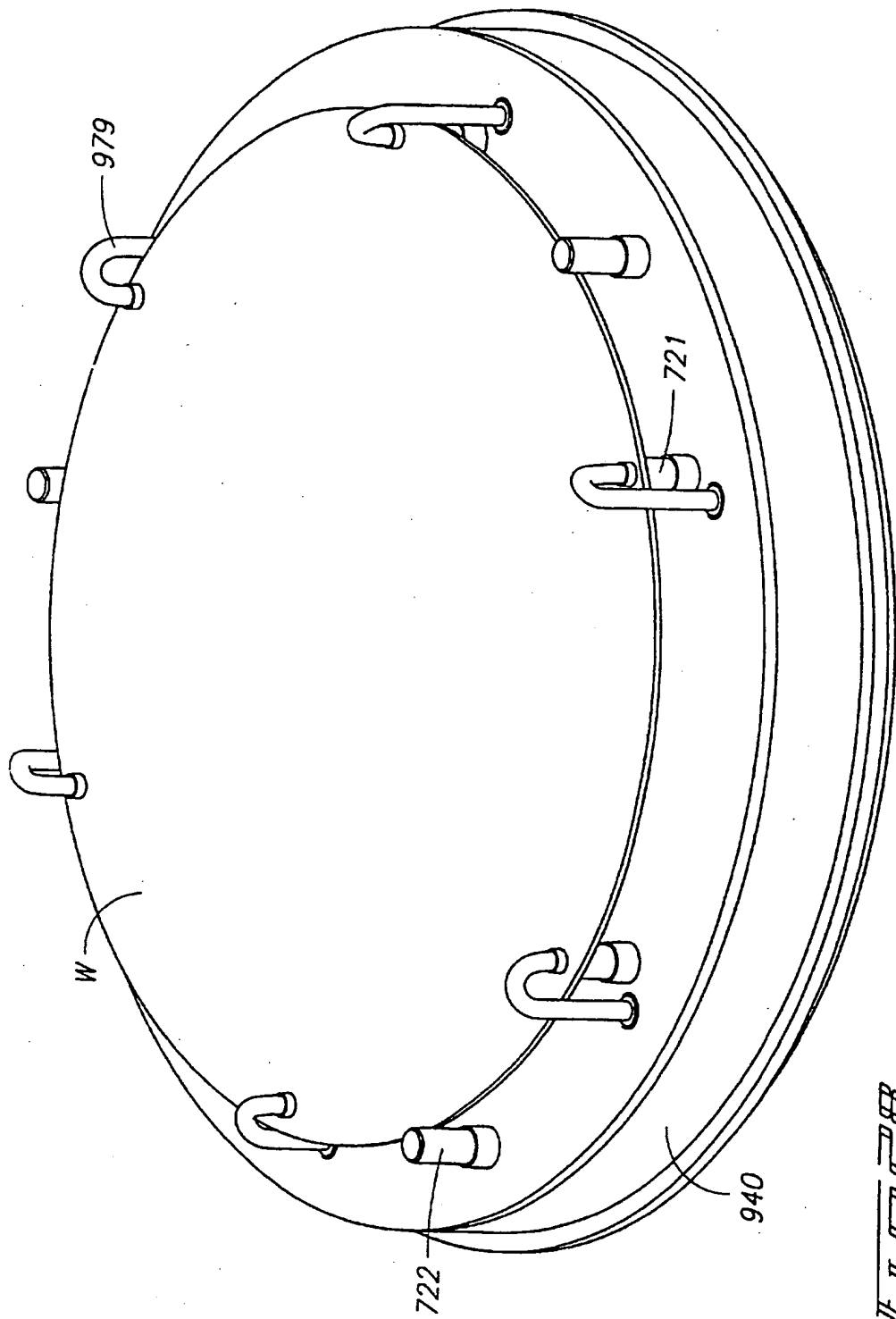


FIG. 28

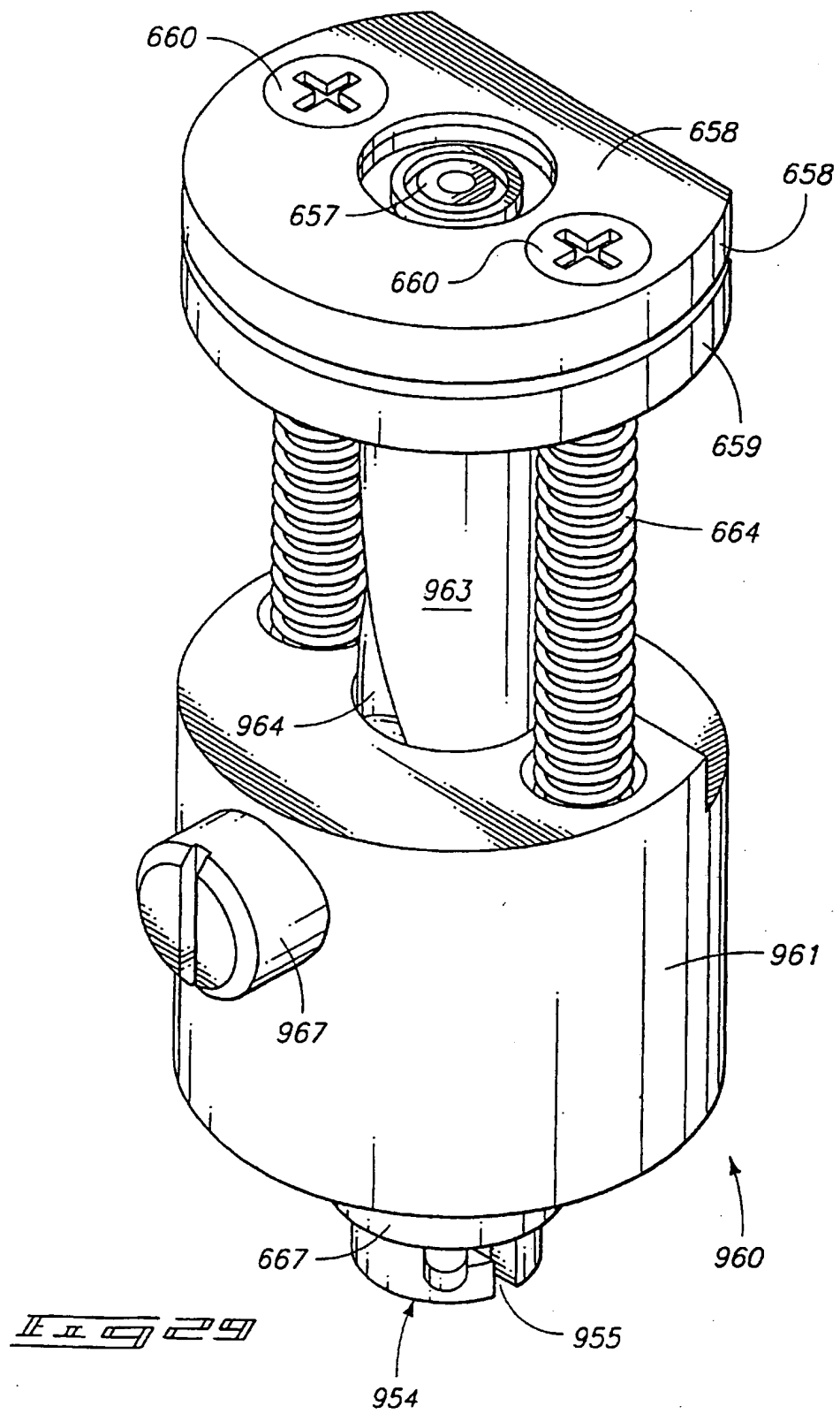
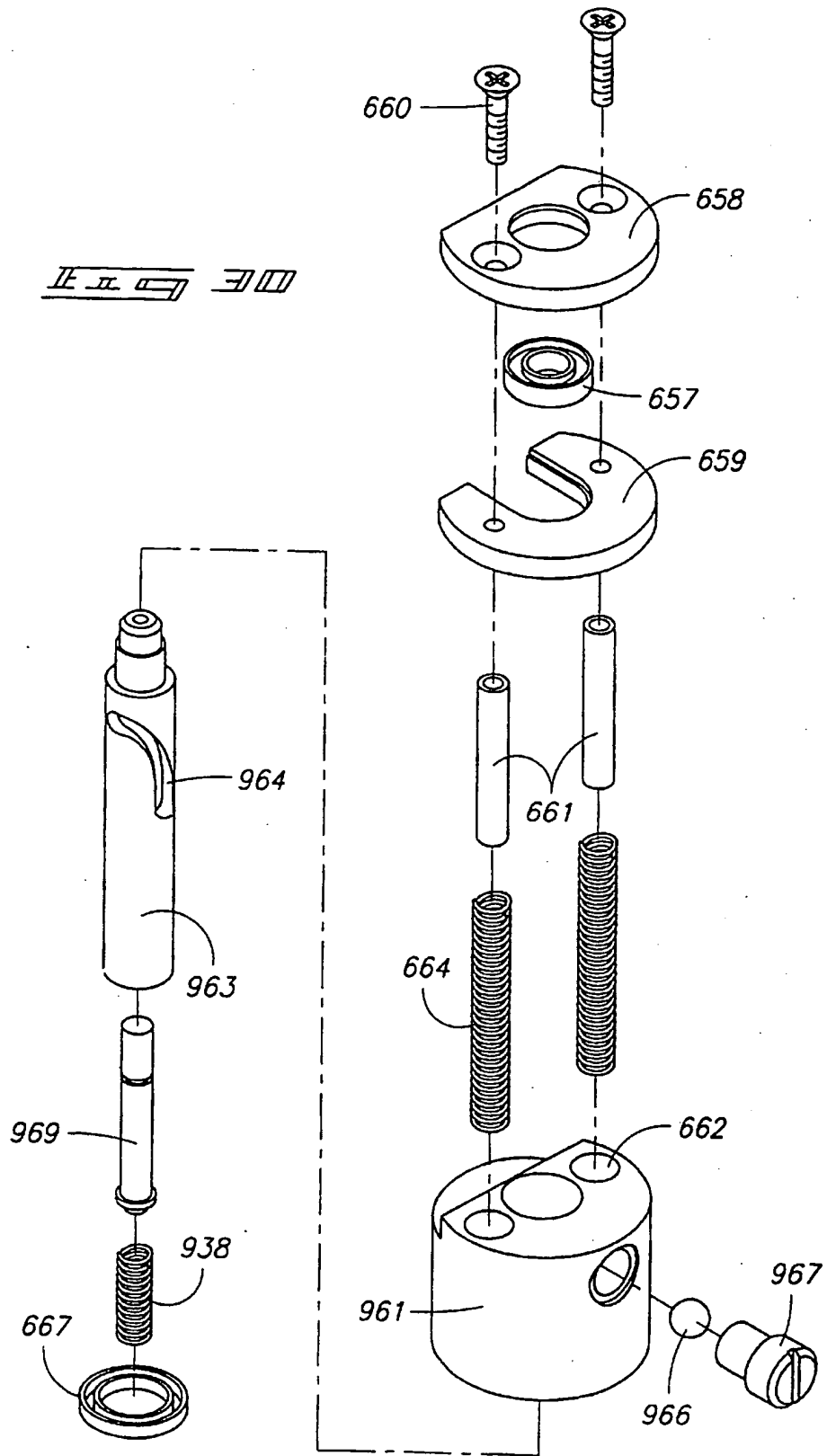
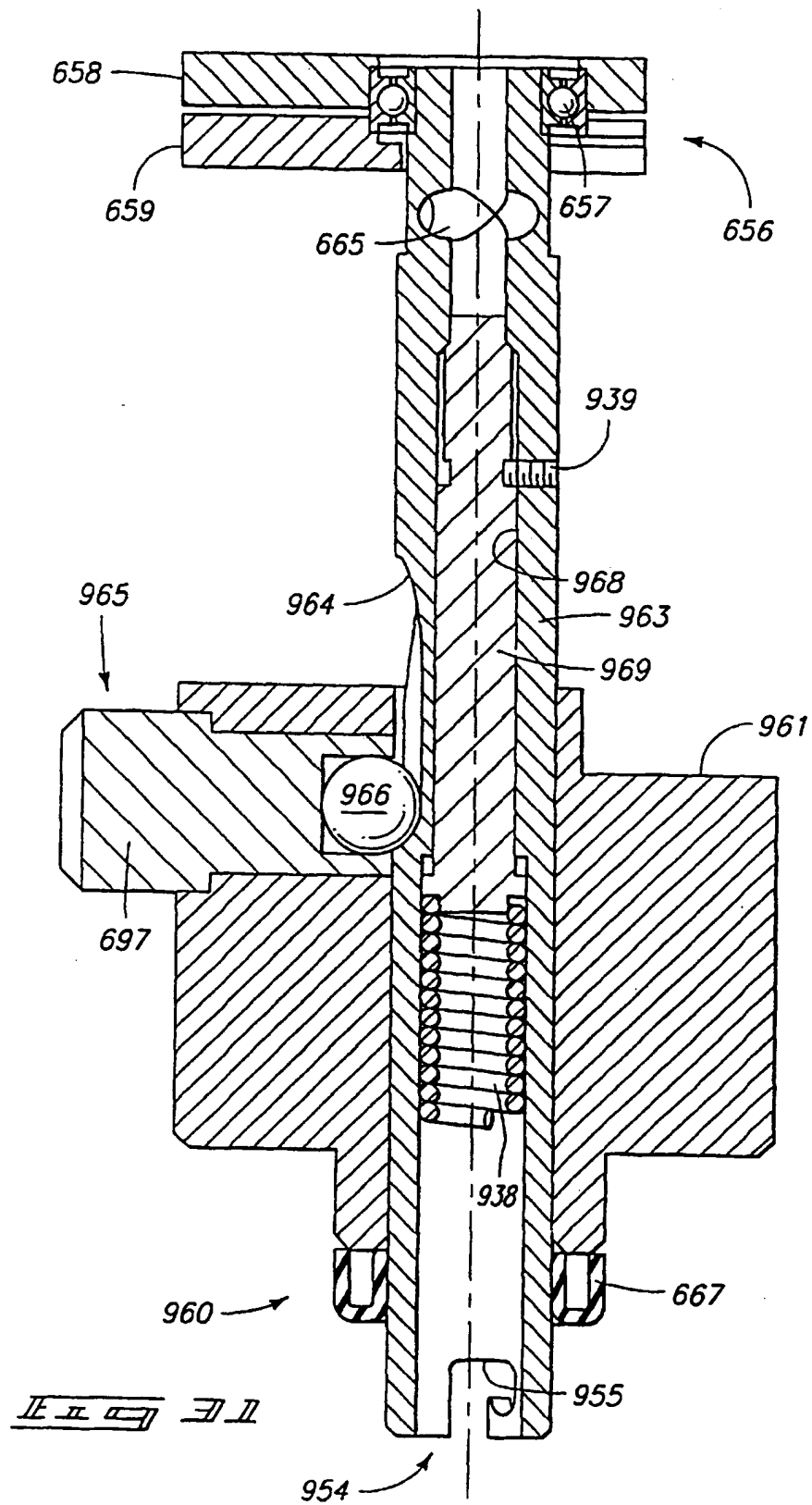


FIG. 3





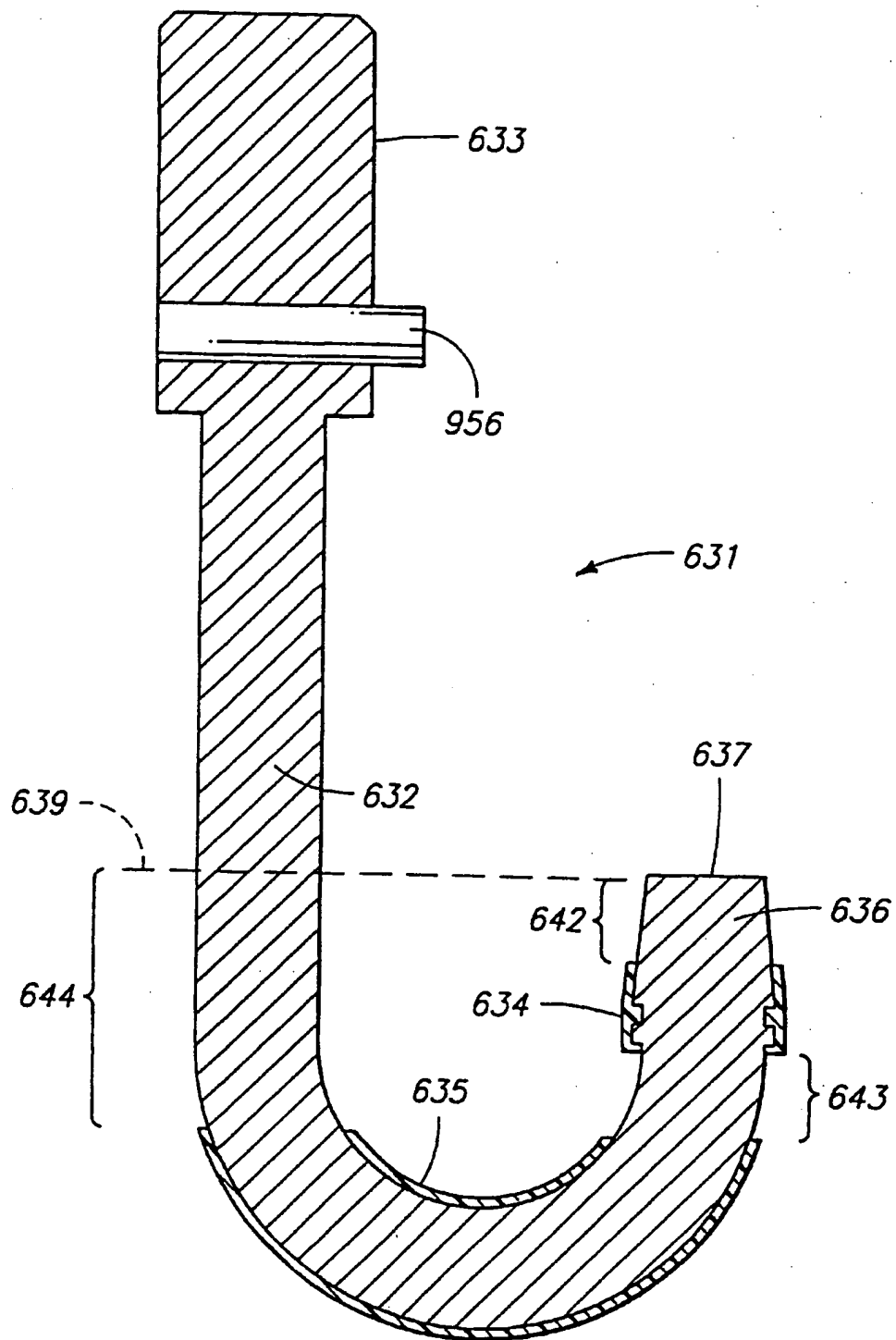


FIG 32

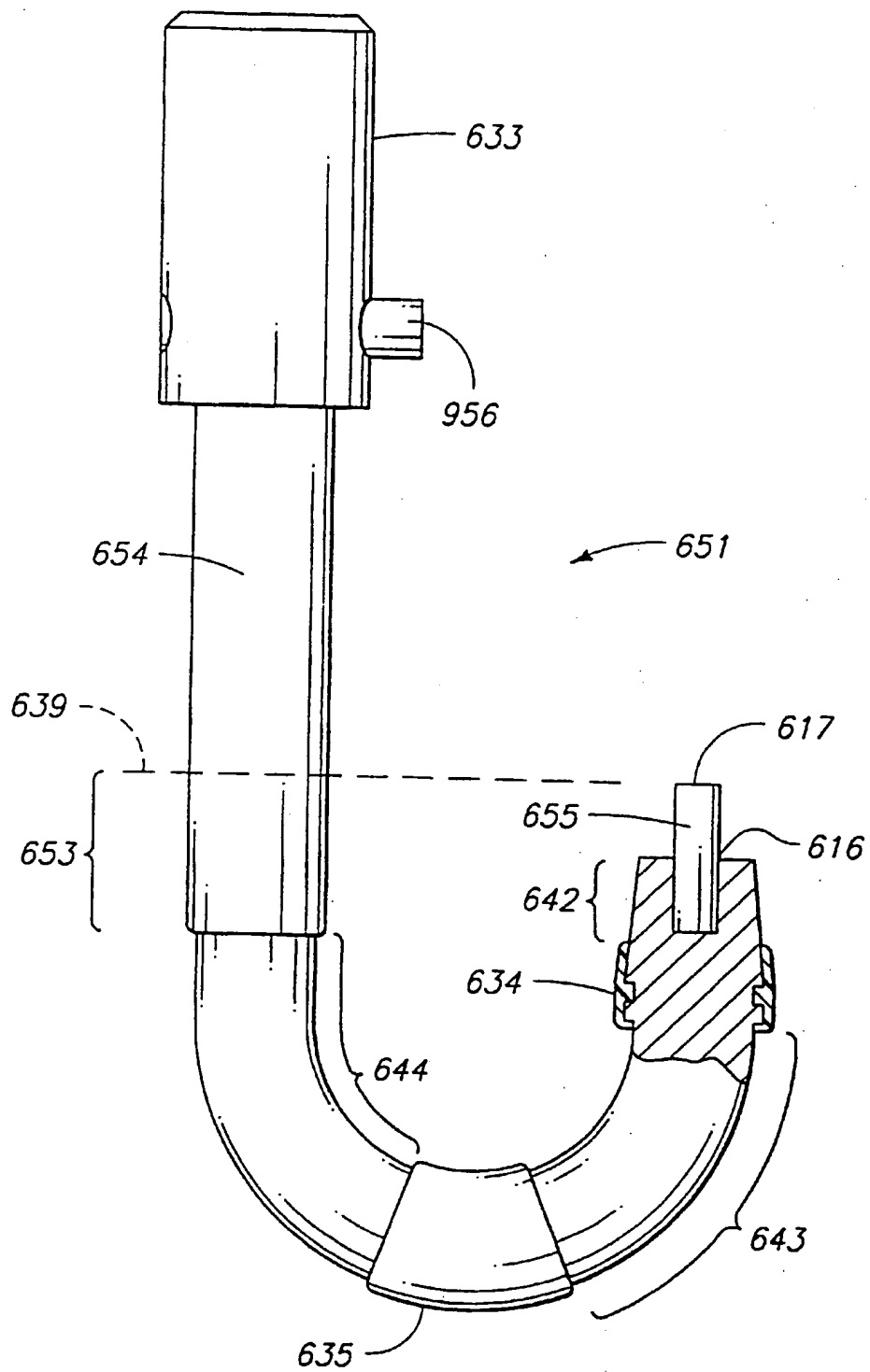


FIG. 3

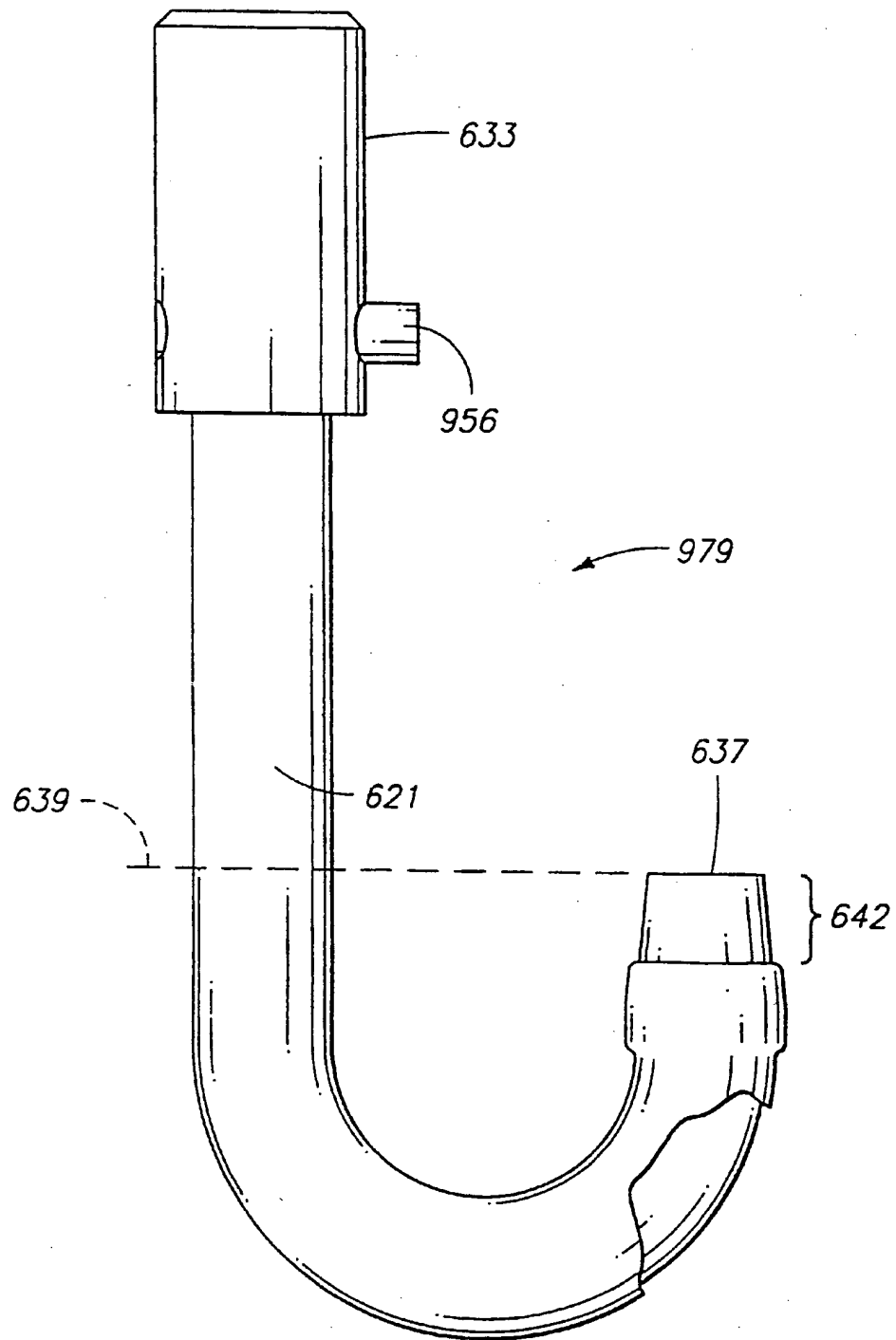


FIG. 34



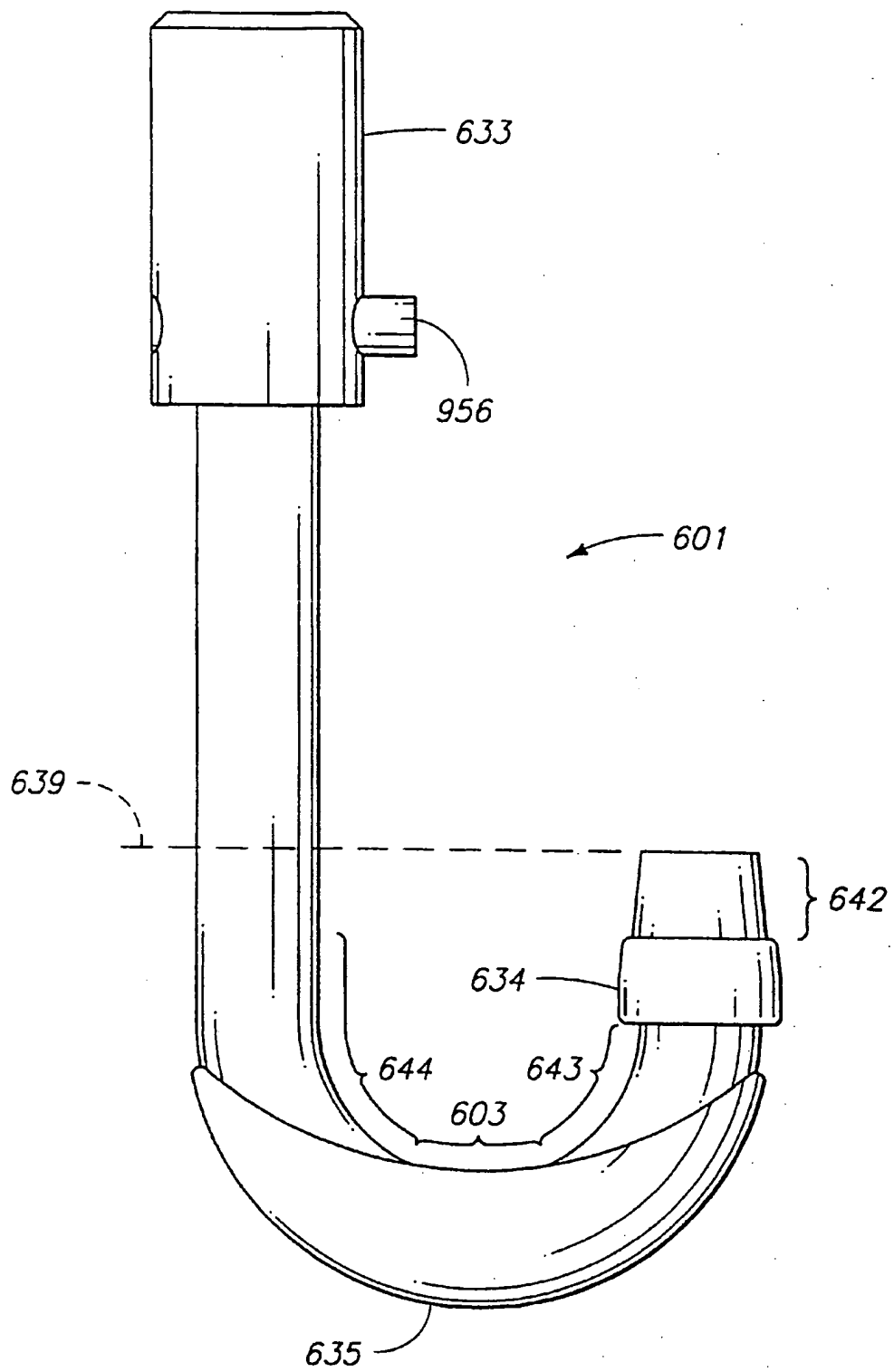


Fig 35

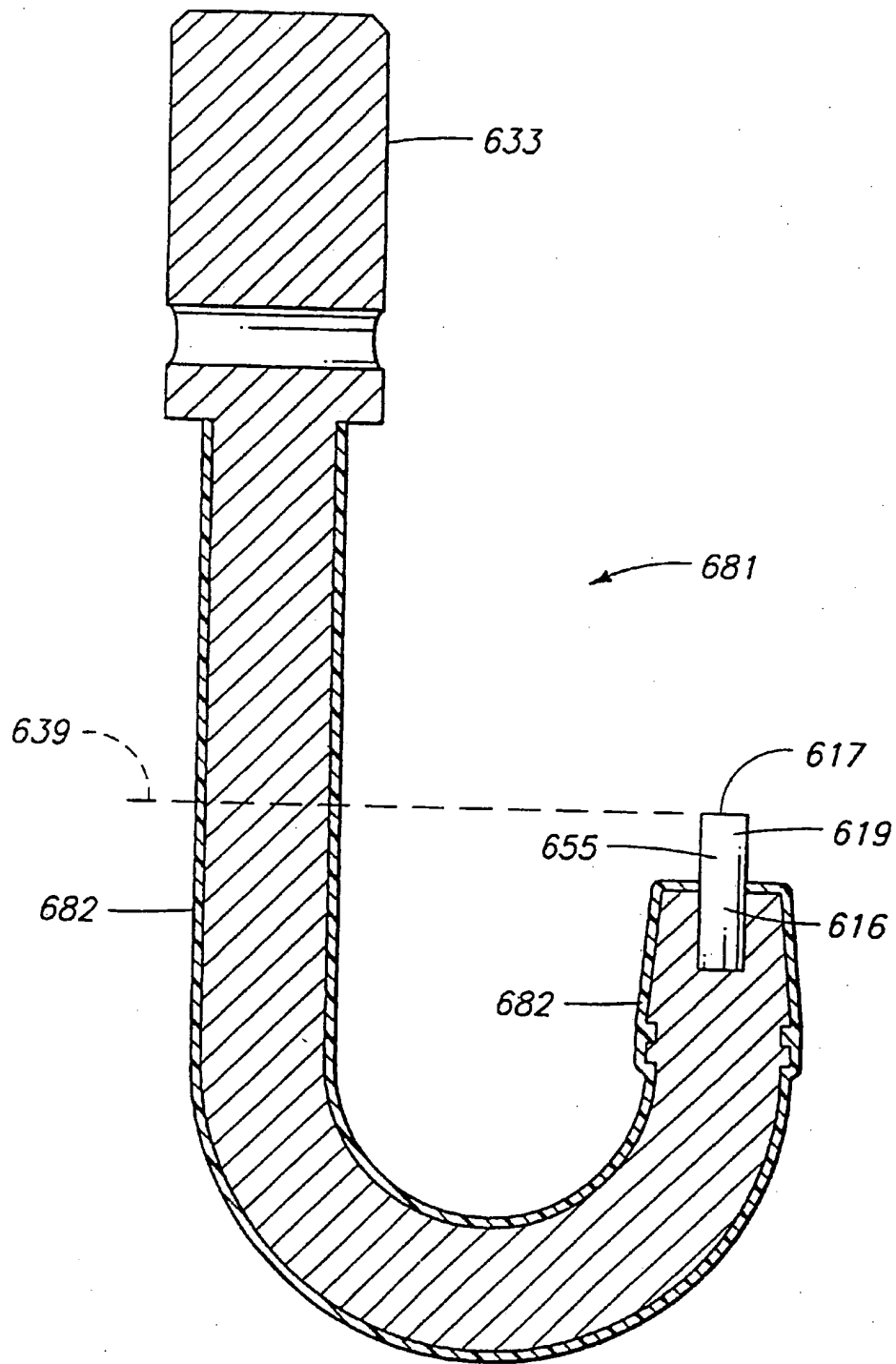
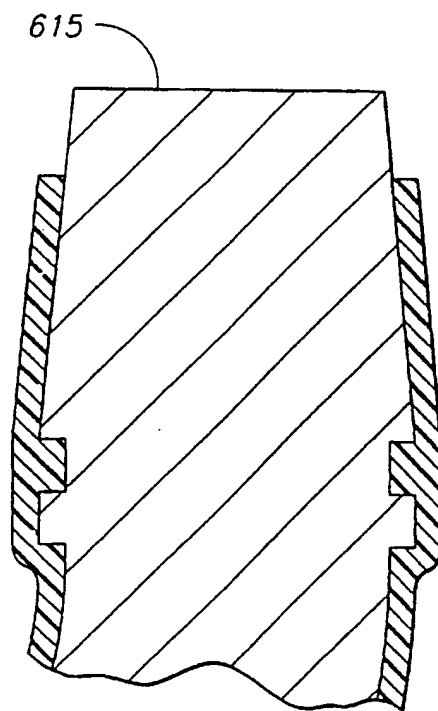
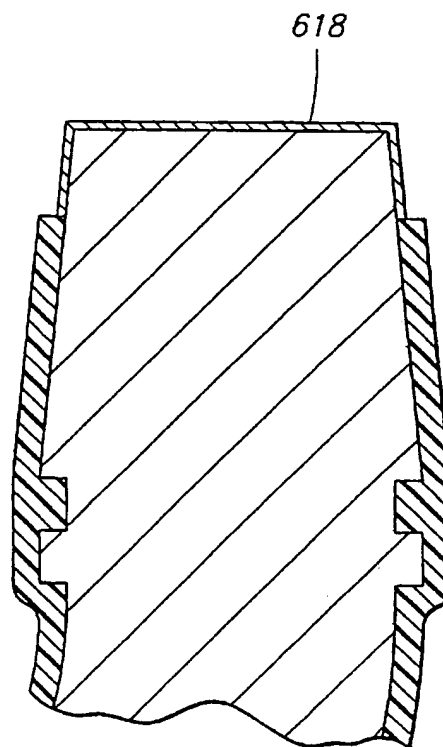


FIG. 36



614

FIG. 37



614

FIG. 38

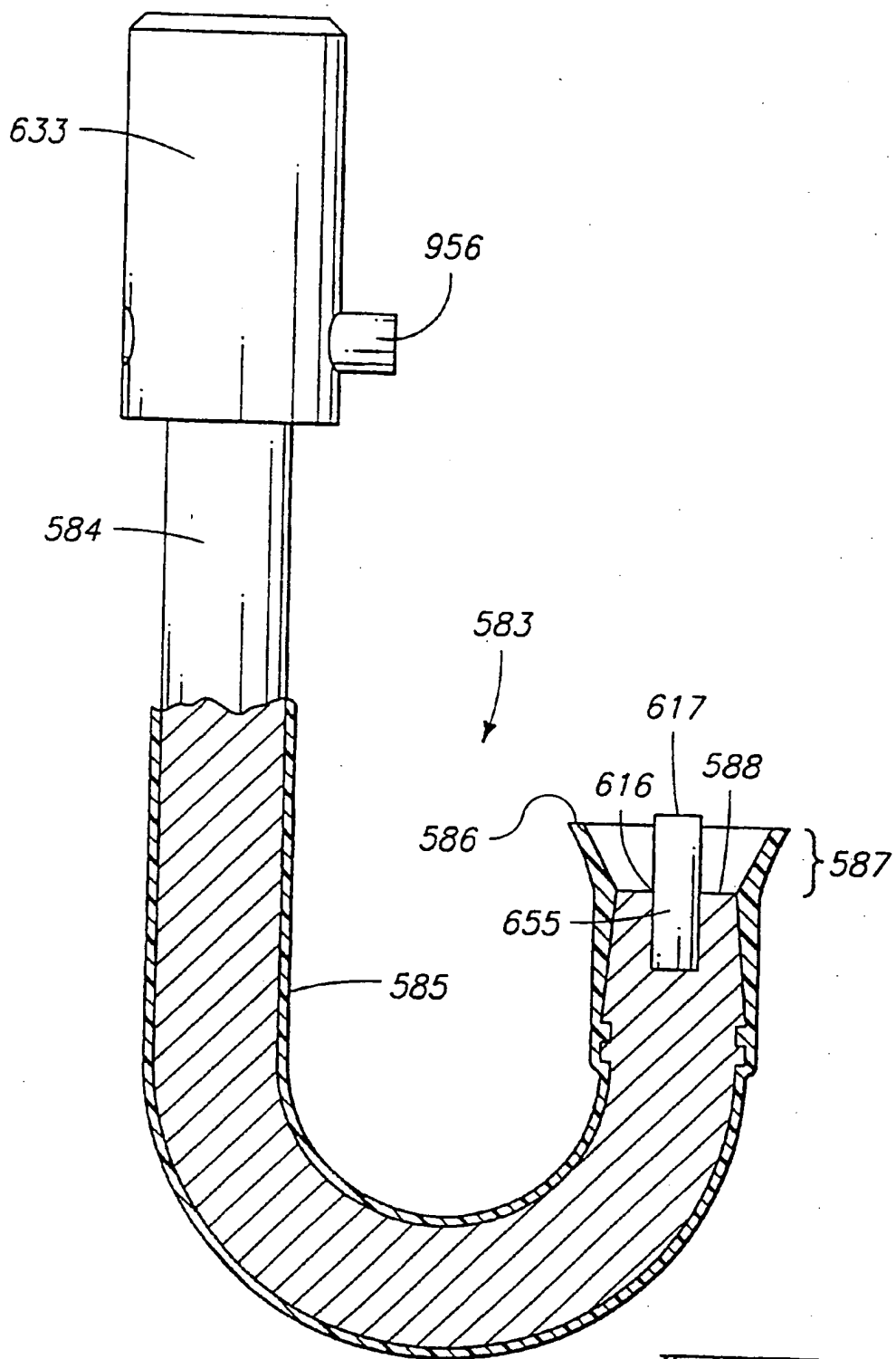


FIG. 39

